

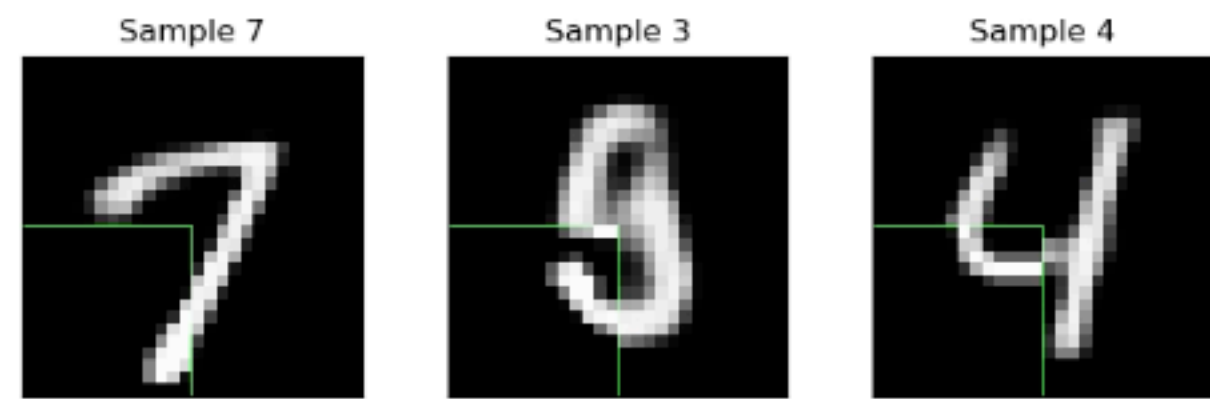
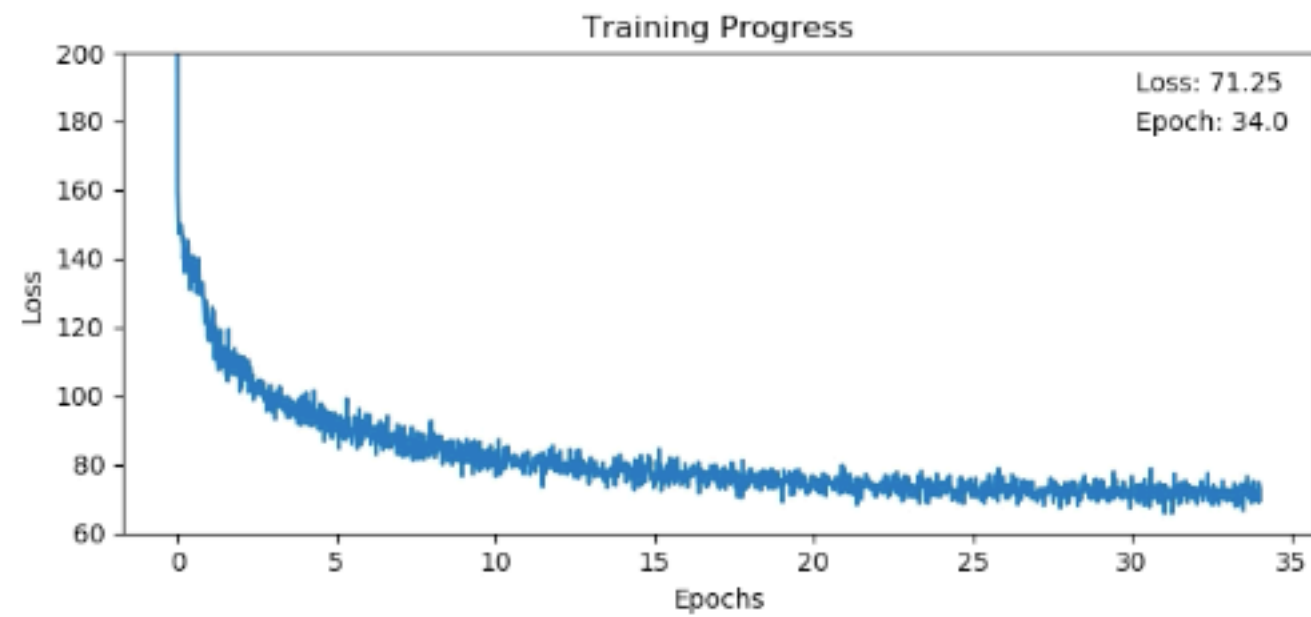
# **Aprendizaje profundo basado en la física**

**Semana 5: Modelos probabilísticos**

**Docente: José I. Robledo - 05/05/2026**

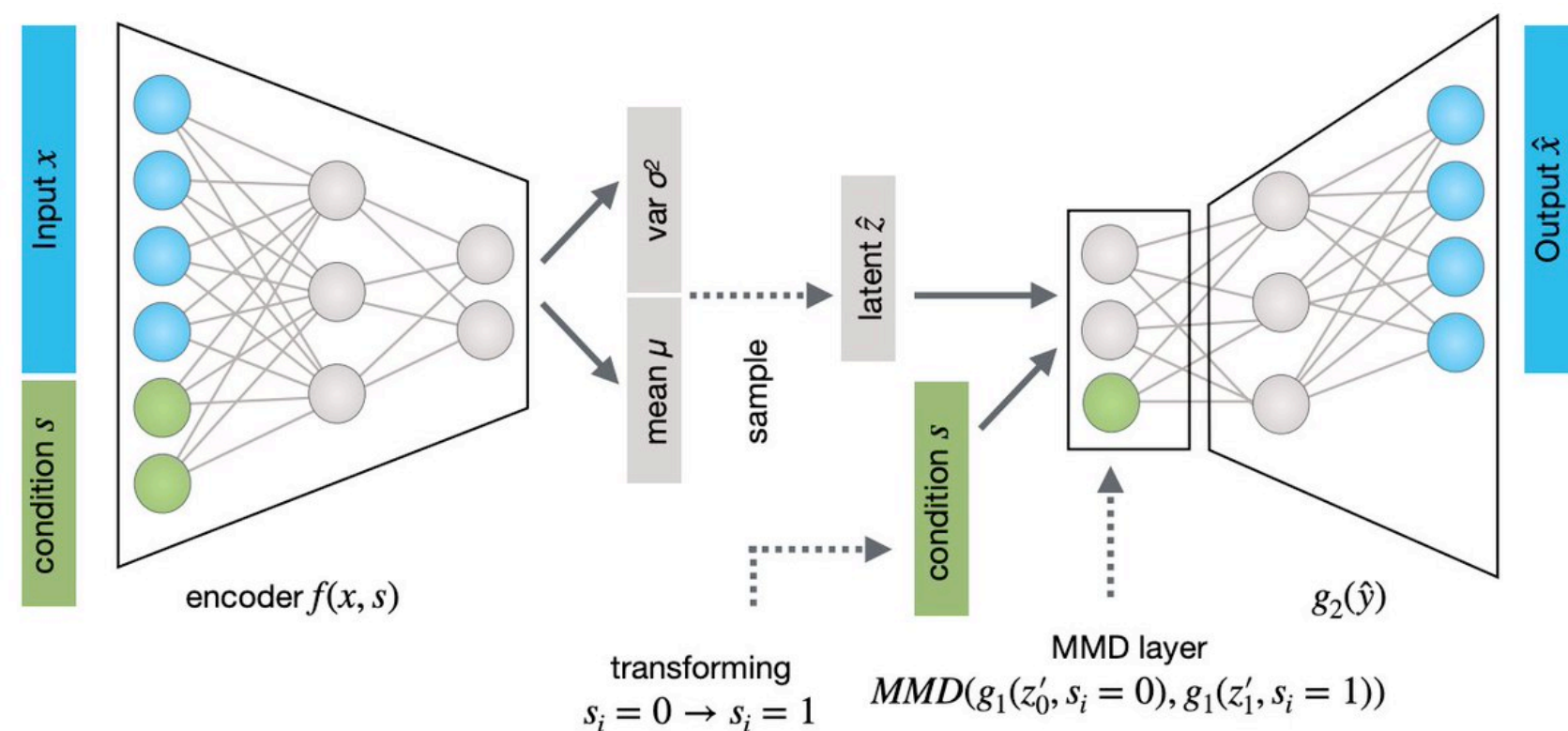
# Modelos probabilísticos

## Conditional VAE



$$\mathcal{L}_{VAE} = \mathbb{E}_{z \sim q_{\phi}(z|x)} [\log p_{\theta}(x|z)] - D_{KL}(q_{\phi}(z|x) || p(z))$$

$$\mathcal{L}_{CVAE} = \mathbb{E}_{z \sim q_{\phi}(z|x,y)} [\log p_{\theta}(y|x,z)] - D_{KL}(q_{\phi}(z|x,y) || p(z))$$



# Modelos probabilísticos

## Physics Informed VAE

Podemos agregar información física!

PI-VAE training stage:

Generate synthetic dataset  $Z_{\text{syn}}$  using the sampling method from Algorithm 1.

**Iteration** For epoch = 1 to  $E_2$  do

Select a mini-batch  $X_1$  from  $X_{\text{data}}$

Reconstruct the training data batch to get  $\hat{X}_1 = D_{\theta}(E_{\phi}(X_1))$

Compute the VAE loss  $\mathcal{L}_{\text{vae}}$  for  $X_1$  using Equation (5)

Compute the physical inconsistency loss  $\mathcal{L}_{\text{phy}}^d$  on  $\hat{X}_1$  using Equation (27)

Select a mini-batch  $Z_2$  from  $Z_{\text{syn}}$

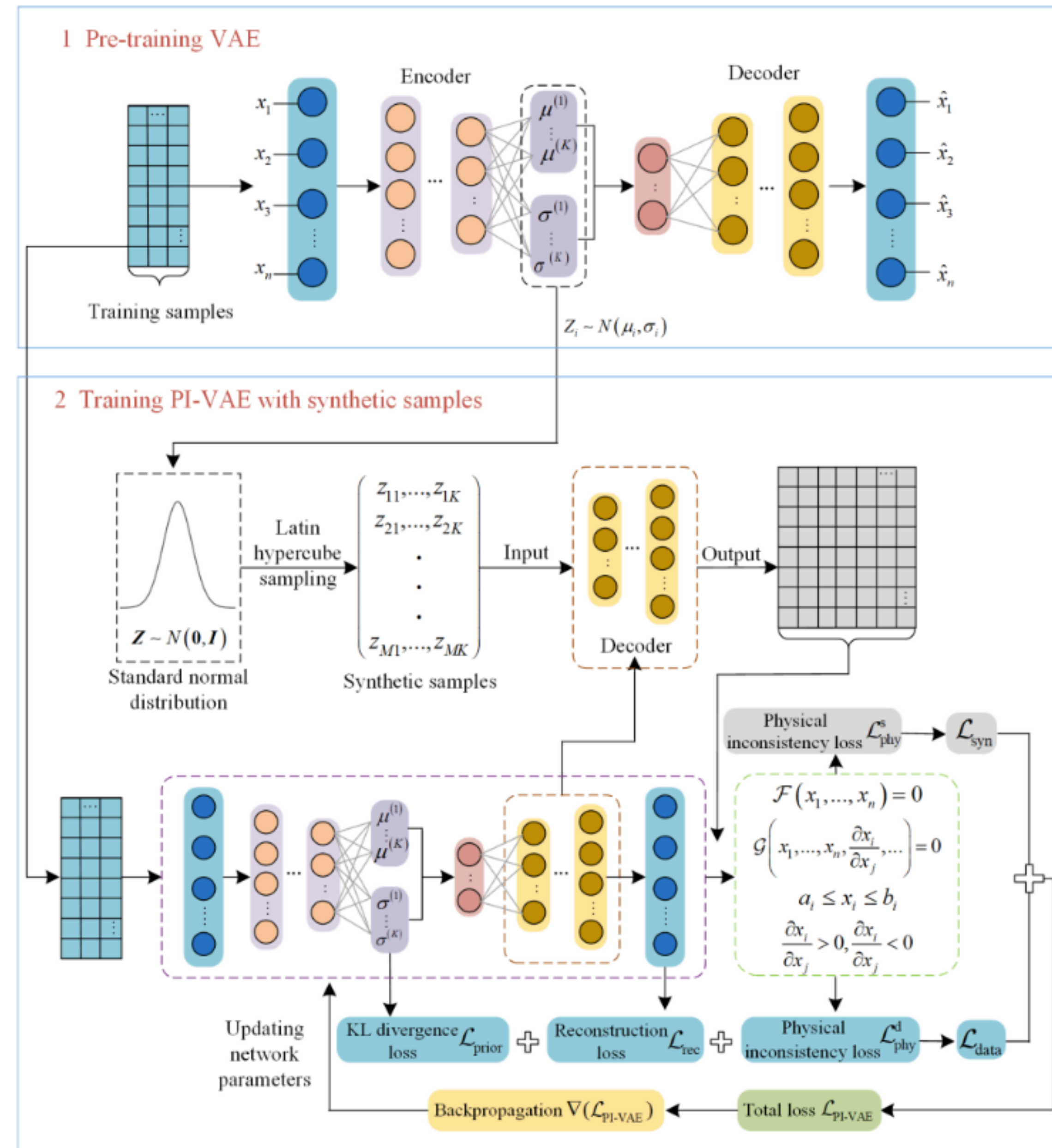
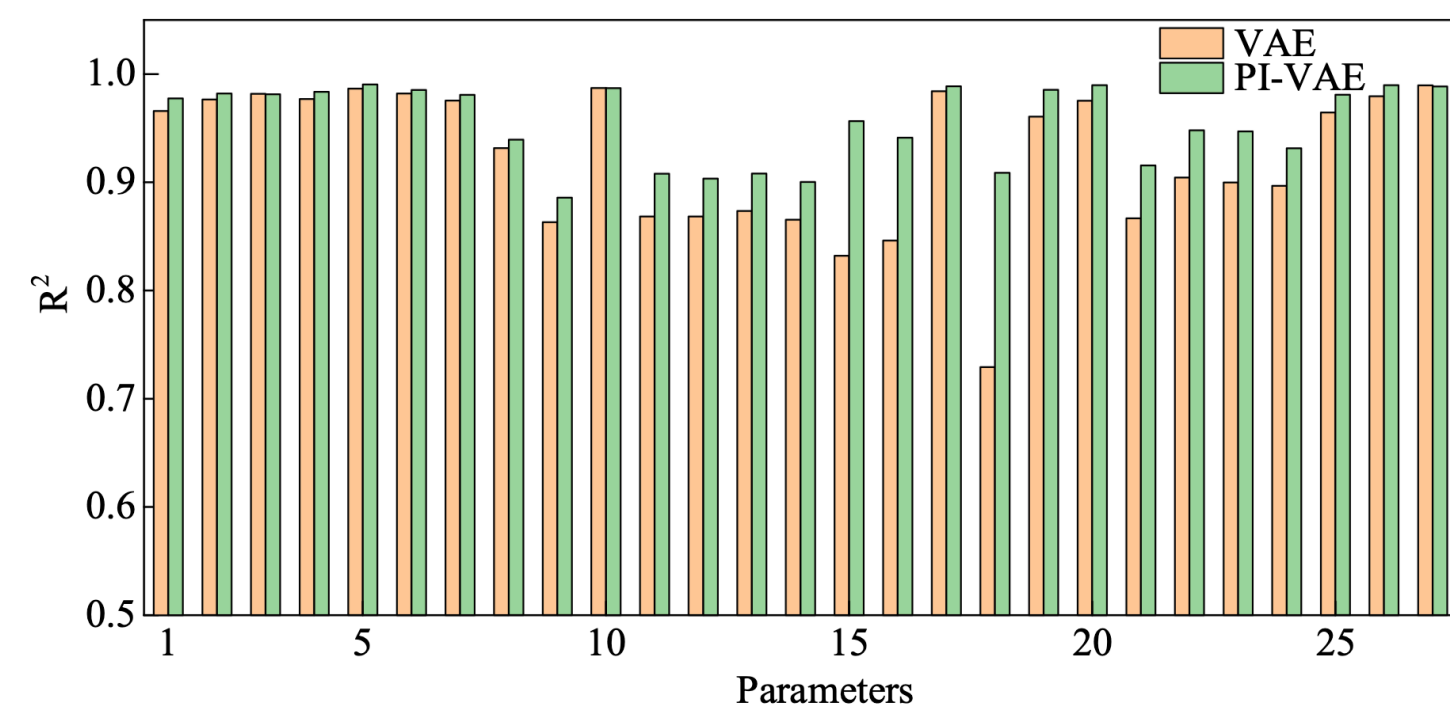
Obtain  $\hat{X}_2$  via the decoder:  $\hat{X}_2 = D_{\theta}(Z_2)$

Compute the physical inconsistency loss  $\mathcal{L}_{\text{phy}}^s$  on  $\hat{X}_2$  using Equation (29)

Compute the total PI-VAE loss:  $\mathcal{L}_{\text{PI-VAE}} = \mathcal{L}_{\text{VAE}} + \alpha_1 \mathcal{L}_{\text{phy}}^d + \alpha_2 \mathcal{L}_{\text{phy}}^s$

Compute the gradient  $-\nabla(\mathcal{L}_{\text{PI-VAE}})$  and update  $\phi, \theta$  by descending the gradient

Until  $\mathcal{L}_{\text{PI-VAE}}$  converges, **end the iteration.**



# Modelos probabilísticos

## Problemas de los VAE

- ELBO es una aproximación (no optimizamos la evidencia  $\log p_{\theta}(x)$  directamente) debido a la aproximación Variacional.
- Muchos supuestos, lo cuál puede hacer que  $q_{\phi}(z | x)$  sea restrictiva.
- Muestreo suele ser borroso!

¿Podremos construir un modelo donde podamos evaluar directamente  $p(x)$ ?

# Normalizing Flows

## Introducción a los Flujos Normalizadores

- Vamos a plantear un modelo que modele directamente la verosimilitud exacta.
- Modelaremos una distribución compleja objetivo  $p(x)$ , con  $x \in \mathbb{R}^D$ , **transformando una distribución simple mediante funciones invertibles.**
- Partiremos de distribución simple Gaussiana D-dimensional

$$z \sim p_z(z) = \sim \mathcal{N}_D(z | \mu, \sigma^2)$$

Pregunta central: **¿Cómo transforma una distribución ante un cambio de variable?**

# Normalizing Flows

## Transformación de distribuciones ante cambio de variable

- Supongamos transformación invertible  $f : \mathbb{R}^D \rightarrow \mathbb{R}^D$ . Llamemos  $f^{-1}$  a su inversa.
- Sea  $\vec{z} \in \mathbb{R}^D$ . Aplicamos la transformación y obtenemos una variable  $y = f(\vec{z}) \in \mathbb{R}^D$ . ¿Cómo cambió la densidad de probabilidad de la nueva variable aleatoria  $Y$  respecto a  $Z$ ?

$$\int p_Y(\vec{y}) d\vec{y} = \int p_Z(\vec{z}) d\vec{z} = 1 \quad \Longrightarrow \quad p_Y(\vec{y}) = p_Z(f^{-1}(\vec{y})) \left| \det \frac{\partial f^{-1}(\vec{y})}{\partial \vec{y}} \right|$$

Jacobiano

# Normalizing Flows

## Transformación de distribuciones ante cambio de variable

Ejemplo  $D = 1$

$$z \sim U[0,1] \quad p_Z(z) = 1, \forall z \in [0,1]$$

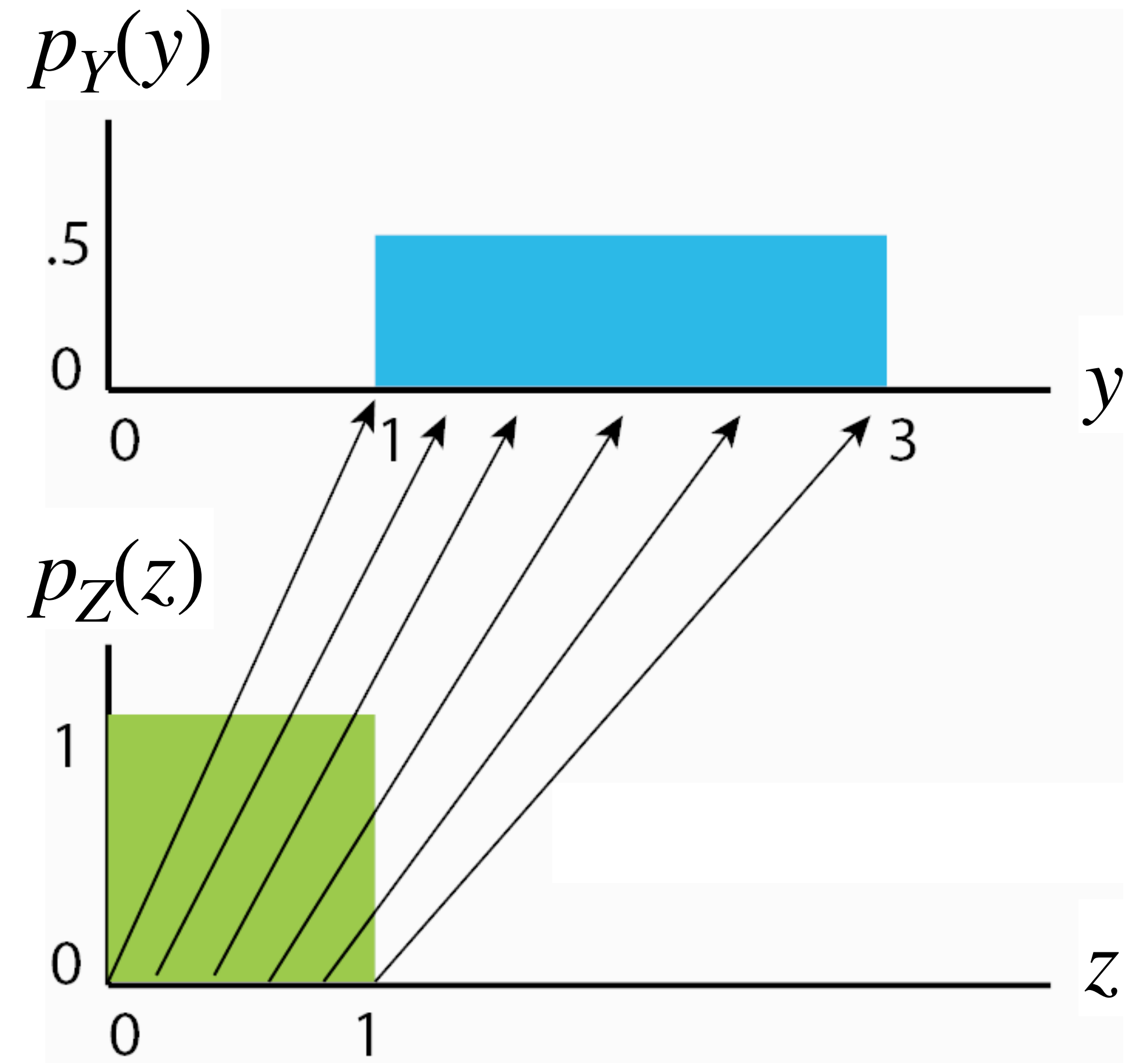
$$f(z) = 2z + 1 = y \quad \text{Transformación afin}$$

$f: \mathbb{R} \rightarrow \mathbb{R}$  es invertible ✓

$$z = f^{-1}(y) = (y - 1)/2, \quad \frac{\partial f^{-1}(y)}{\partial y} = \frac{1}{2}$$

$$p_Y(y) = p_Z(f^{-1}(y)) \left| \frac{\partial f^{-1}(y)}{\partial y} \right|$$

$$\implies y \sim U[1,3] \quad p_Y(y) = 0.5, \forall y \in [1,3]$$



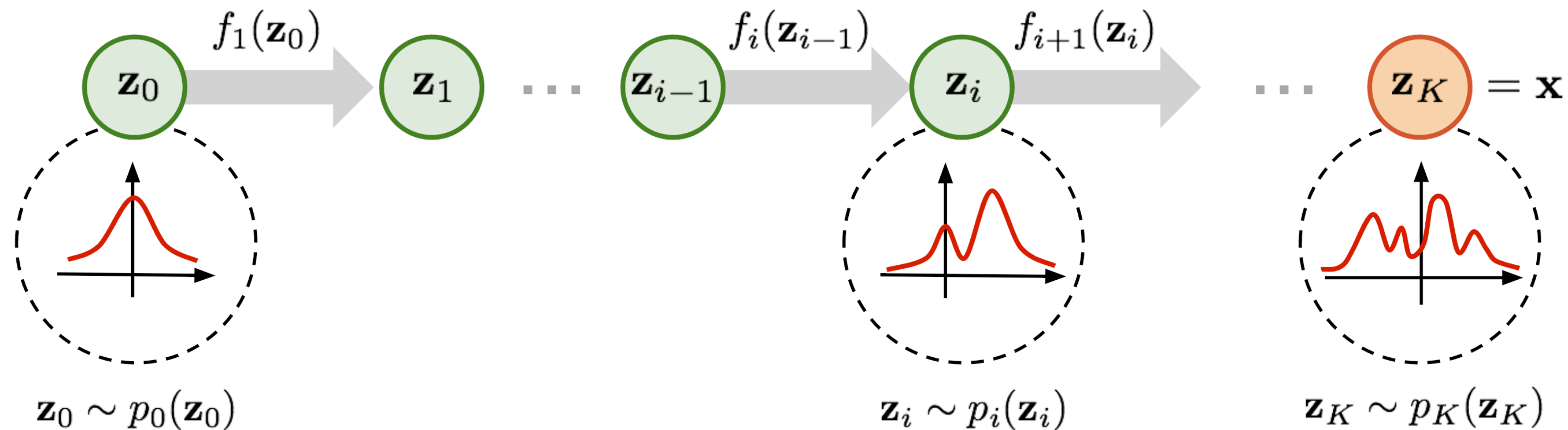
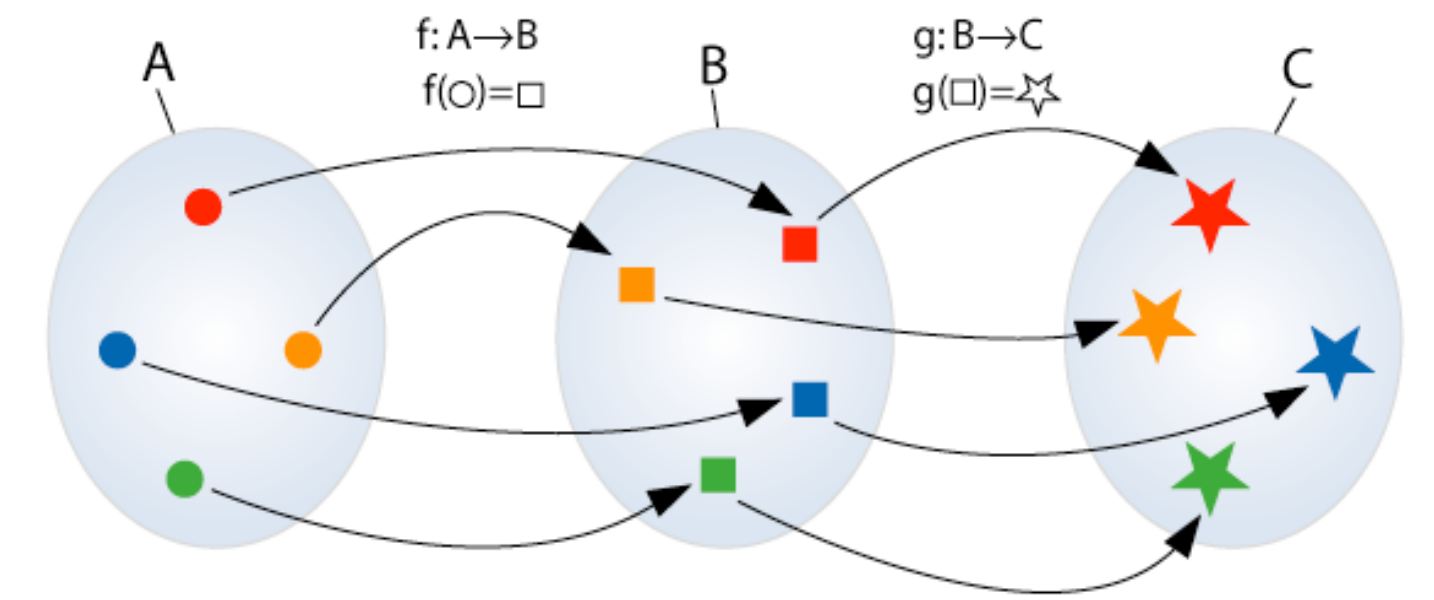
# Normalizing Flows

## Idea central

La composición de funciones invertibles es también invertible

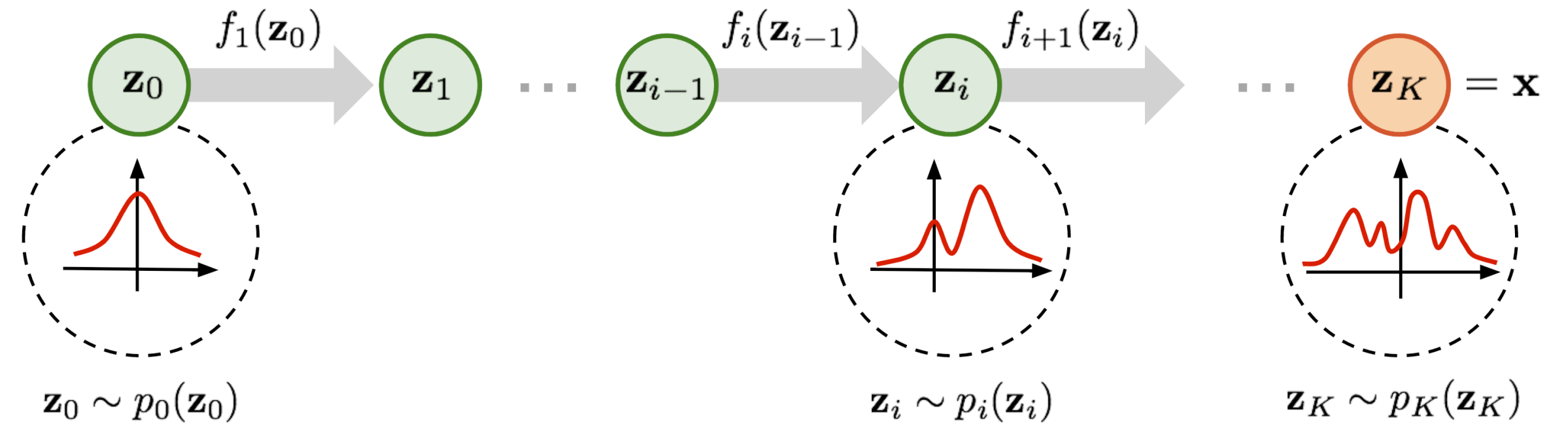
$$(f_1 \circ f_2)^{-1} = f_1^{-1} \circ f_2^{-1}$$

Un **Normalizador de flujos** o *Normalizing flow* intenta transformar la distribución  $p_Z(z)$  gradualmente hacia la distribución más compleja objetivo  $p_X(x)$  mediante el uso de sucesivas transformaciones invertibles.



# Normalizing Flows

## Como transforma la densidad



$$\vec{z}_i \sim p_i(\vec{z}_i)$$

$$\vec{z}_i = f_i(\vec{z}_{i-1}) \implies \vec{z}_{i-1} = f_i^{-1}(\vec{z}_i) \implies p_i(\vec{z}_i) = p_{i-1}(f_i^{-1}(\vec{z}_i)) \left| \det \frac{\partial f_i^{-1}(\vec{z}_i)}{\partial \vec{z}_i} \right|$$

El *teorema de la función inversa* nos dice que si  $y = f(x)$ , entonces

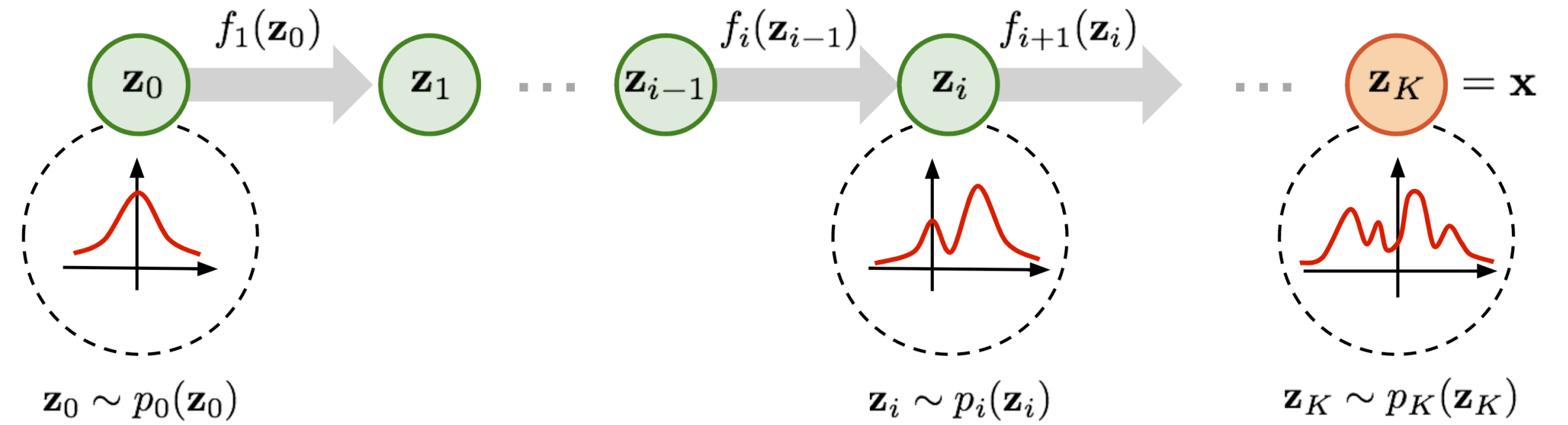
$$\frac{\partial f^{-1}(y)}{\partial y} = \left( \frac{\partial f(x)}{\partial x} \right)^{-1}$$

Fácil de ver 1D, válido para más dimensiones

$$\frac{\partial f^{-1}(y)}{\partial y} = \frac{\partial x}{\partial y} = \left( \frac{\partial y}{\partial x} \right)^{-1} = \left( \frac{\partial f(x)}{\partial x} \right)^{-1}$$

# Normalizing Flows

Como transforma la densidad



$$\implies p_i(\vec{z}_i) = p_{i-1}(f_i^{-1}(\vec{z}_i)) \left| \det \left( \frac{\partial f_i(\vec{z}_{i-1})}{\partial \vec{z}_{i-1}} \right)^{-1} \right|$$

$$\det(M) \det(M^{-1}) = \det(M \cdot M^{-1}) = \det(I) = 1 \implies \det(M^{-1}) = (\det(M))^{-1}$$

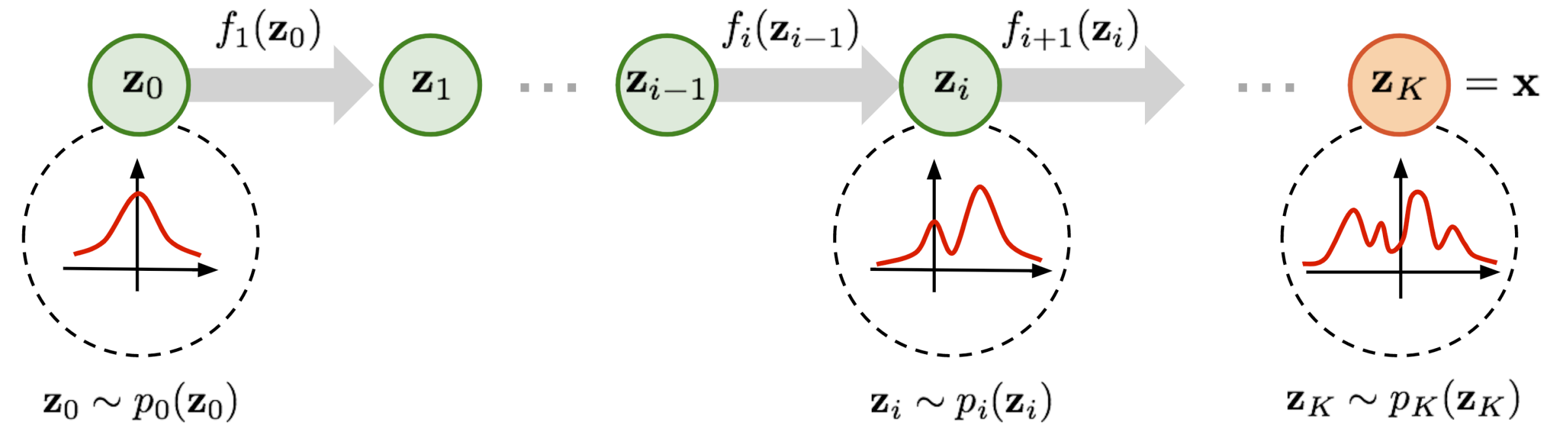
$$\implies p_i(\vec{z}_i) = p_{i-1}(f_i^{-1}(\vec{z}_i)) \left| \det \left( \frac{\partial f_i(\vec{z}_{i-1})}{\partial \vec{z}_{i-1}} \right)^{-1} \right|$$

Transformación de la log probabilidad ante una función invertible

$$\log p_i(\vec{z}_i) = \log p_{i-1}(\vec{z}_{i-1}) - \log \left| \det \frac{\partial f_i(\vec{z}_{i-1})}{\partial \vec{z}_{i-1}} \right|$$

# Normalizing Flows

## Como transforma la densidad



Transformación de la log probabilidad ante  $K$  funciones invertibles

$$\vec{x} = \vec{z}_K = f_K \circ f_{K-1} \circ \dots \circ f_1(\vec{z}_0)$$

$$\log p_X(\vec{x}) = \log \left( p_{Z_K}(\vec{z}_K) \right) = \log \left( p_{Z_{K-1}}(\vec{z}_{K-1}) \right) - \log \left| \det \frac{\partial f_K(\vec{z}_{K-1})}{\partial \vec{z}_{K-1}} \right|$$

$$\log p_X(\vec{x}) = \log \left( p_0(\vec{z}_0) \right) - \sum_{i=1}^K \log \left| \det \frac{\partial f_i(\vec{z}_{i-1})}{\partial \vec{z}_{i-1}} \right|$$

Muestreo:

$$\text{Tomo } \vec{z}_0 \sim p_0 = \mathcal{N}_D(0, \mathbb{I})$$

$$\vec{x} = G(\vec{z}_0) = f_K \circ f_{K-1} \circ \dots \circ f_1(\vec{z}_0)$$

Todo muy bien... pero a dónde entra el aprendizaje profundo?

# Normalizing Flows

## Aprender transformaciones con NNs

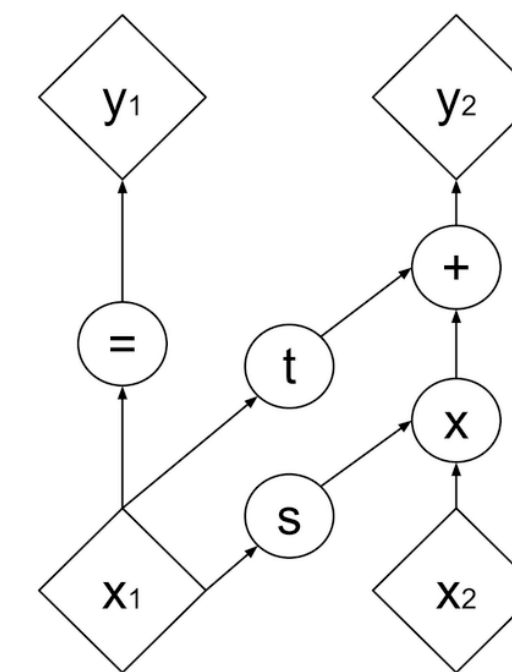
Queremos transformaciones expresivas flexibles, pero que sean invertibles.

Vimos que la transformación afin es invertible

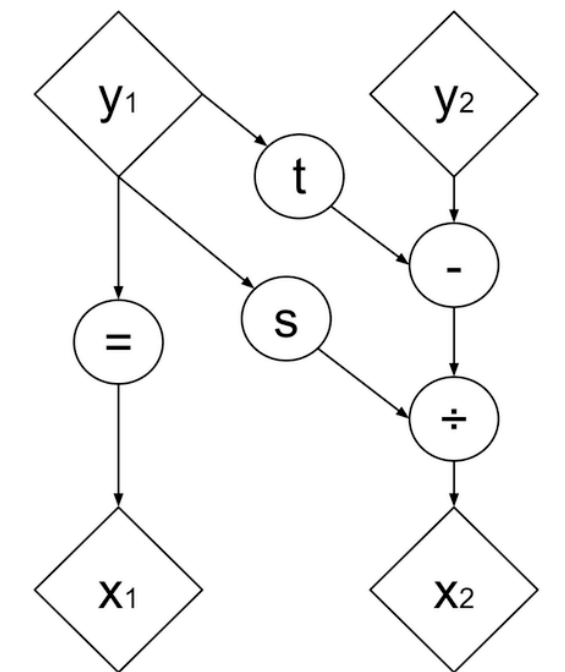
$$z = ax + b$$

### Capa de acoplamiento afin (Coupling Layer)

Sean  $s_\theta(x)$  y  $t_\theta(x)$  redes neuronales parametrizadas por  $\theta$ . Dividimos al vector de entrada  $x$  en dos partes:  $\vec{x}_{1:d}$  y  $\vec{x}_{(d+1):D}$ .



(a) Forward propagation



(b) Inverse propagation

Non-volume preserving (NVP)

$$\begin{aligned} \vec{z}_{1:d} &= \vec{x}_{1:d} && \text{scaling} && \text{translation} \\ \vec{z}_{(d+1):D} &= \vec{x}_{(d+1):D} \odot \exp(s_\theta(\vec{x}_{1:d})) + t_\theta(\vec{x}_{1:d}) \end{aligned}$$

# Normalizing Flows

## Transformación de acoplamiento afin (Affine Coupling)

**Transformación**

$$\vec{z}_{1:d} = \vec{x}_{1:d} \quad \text{scaling} \quad \text{translation}$$
$$\vec{z}_{(d+1):D} = \vec{x}_{(d+1):D} \odot \exp(s_{\theta}(\vec{x}_{1:d})) + t_{\theta}(\vec{x}_{1:d})$$

Resulta invertible gracias a que dividimos al vector en dos. Tenemos **memoria** de la entrada en la salida y la transformación depende de esa memoria.

**Inversa**

$$\vec{x}_{1:d} = \vec{z}_{1:d}$$
$$\vec{x}_{(d+1):D} = (\vec{z}_{(d+1):D} - t(\vec{y}_{1:d})) \odot \exp(-s(\vec{y}_{1:d}))$$

**Jacobiano**

$$\mathbf{J} = \begin{bmatrix} \mathbb{I}_d & 0 \\ \frac{\partial \vec{z}_{(d+1):D}}{\partial \vec{x}_{1:d}} & \text{diag}(\exp(s_{\theta}(\vec{x}_{1:d}))) \end{bmatrix}$$

Triangular inferior

# Normalizing Flows

## Transformación de acoplamiento afin

$$\mathbf{J} = \begin{bmatrix} \mathbb{I}_d & 0 \\ \frac{\partial \vec{y}_{(d+1):D}}{\partial \vec{x}_{1:d}} & \text{diag}(\exp(s_\theta(\vec{x}_{1:d}))) \end{bmatrix}$$

El determinante de una matriz triangular es el producto de los elementos diagonales!

$$\det \mathbf{J} = \exp\left(\sum_j s_\theta(\vec{x}_{1:d})\right)$$

$$\log p_X(\vec{x}) = \log(p_0(\vec{z}_0)) - \sum_{i=1}^K \log \left| \det \frac{\partial f_i(\vec{z}_{i-1})}{\partial \vec{z}_{i-1}} \right| \implies \log p_X(x) = \log p_0(\vec{z}_0) - \sum_{j=1}^{D-d} s_\theta(\vec{x}_{1:d})$$

Al controlar la estructura de la transformación, sigue siendo invertible, pero ganamos expresividad usando redes neuronales

# Normalizing Flows

## Flow auto-regresivo mascarado (MAF)

Otra posibilidad sería modelar la densidad del vector  $\vec{x}$  como el producto de densidades 1D condicionadas

$$p(\vec{x}) = \prod_{i=1}^D p(x_i | x_{1:i-1})$$

$$p(x_i | x_{1:i-1}) = \mathcal{N}(x_i | m_{i,\theta}(x_{1:i-1}), (\exp s_{i,\theta}(x_{1:i-1}))^2)$$

Cada dimensión se estandariza usando estadísticas condicionadas en las anteriores

$$z_i = (x_i - m_{i,\theta}(x_{1:i-1})) / \exp s_{i,\theta}(x_{1:i-1}) \quad \text{Estandarización autoregresiva}$$

### Inversa

$$x_i = z_i \exp s_{i,\theta}(x_{1:i-1}) + m_{i,\theta}(x_{1:i-1}), \quad z_i \sim \mathcal{N}(0,1)$$

# Normalizing Flows

## Flow auto-regresivo mascarado (MAF)

Cómo sería el Jacobiano ante esta transformación?

$$z_i = (x_i - m_{i,\theta}(x_{1:i-1})) / \exp s_{i,\theta}(x_{1:i-1})$$

Esto define una transformación invertible con Jacobiano triangular!

$$\log |\det J| = - \sum_i s_{i,\theta}(x_{<i})$$

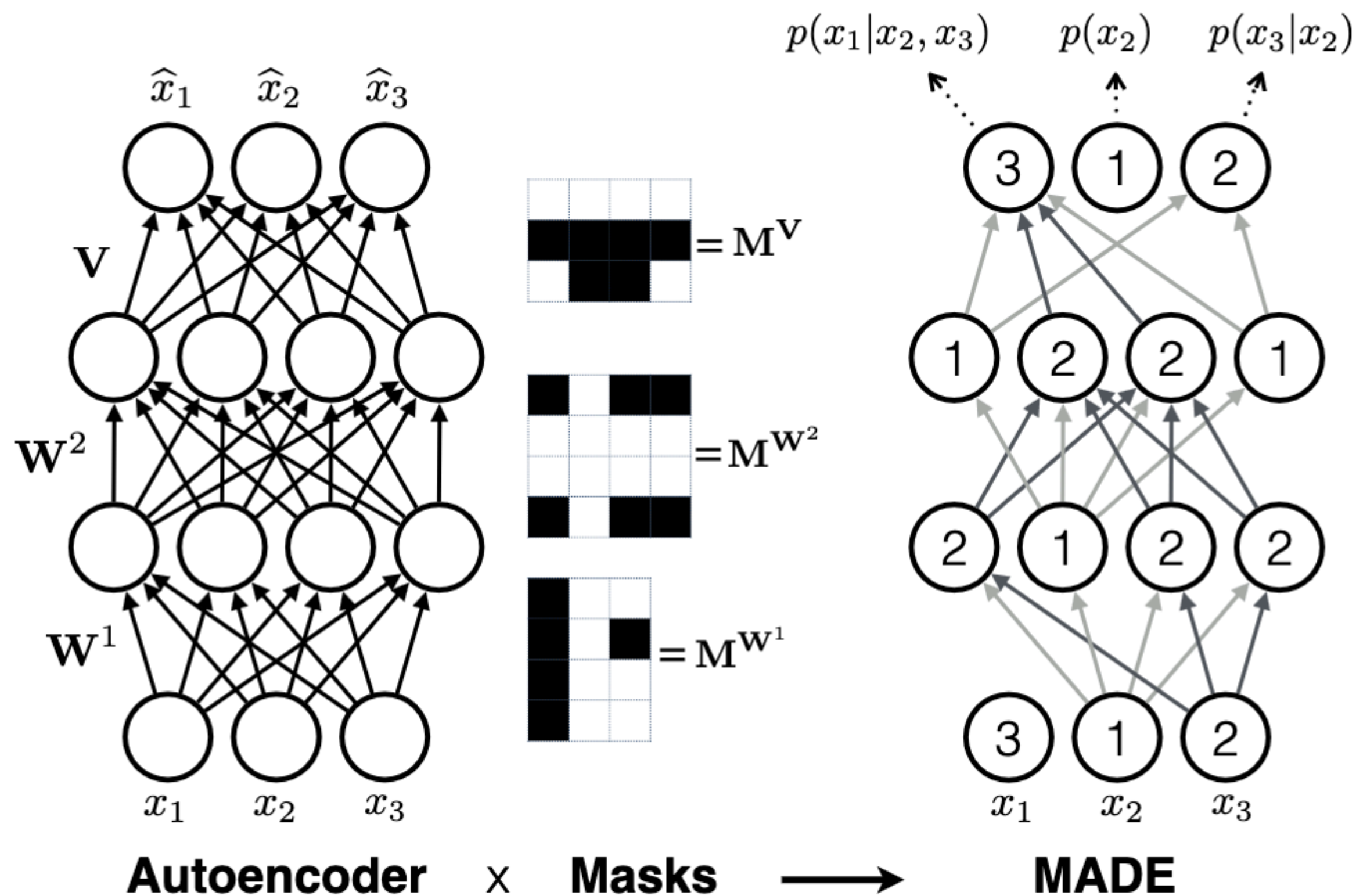
$$x_{1:i-1} = x_{<i}$$

$$\log p_X(x) = \log p_0(\vec{z}_0) + \sum_{i=1}^D s_{i,\theta}(\vec{x}_{<i})$$

Cómo armamos  $m_\theta$  y  $s_\theta$  para que cumplan con la dependencia condicional?

# Normalizing Flows

## Masked Autoencoder for Distribution Estimation (MADE)



Las máscaras fuerzan que cada salida  $i$  dependa de  $x_{<i}$

MAF combina una red autoregresiva (MADE) con el cambio de variable para construir un modelo generativo invertible

Super paralelizable!

# Normalizing Flows

## Inverse Autoregressive Flow (IAF)

### MAF

Con MADE  $\vec{x} \rightarrow (m_1, \dots, m_D, s_1, \dots, s_D)$

$$z_i = (x_i - m_{i,\theta}(x_{1:i-1})) / \exp s_{i,\theta}(x_{1:i-1})$$

Tengo todo, paralelizable! RAPIDO

Generación

$$\hat{x}_i = z_i \exp s_{i,\theta}(\hat{x}_{1:i-1}) + m_{i,\theta}(\hat{x}_{1:i-1}), z_i \sim \mathcal{N}(0,1)$$

Tengo que ir calculando cada  $\hat{x}_{1:i-1}$  para  $\hat{x}_i$

LENTO

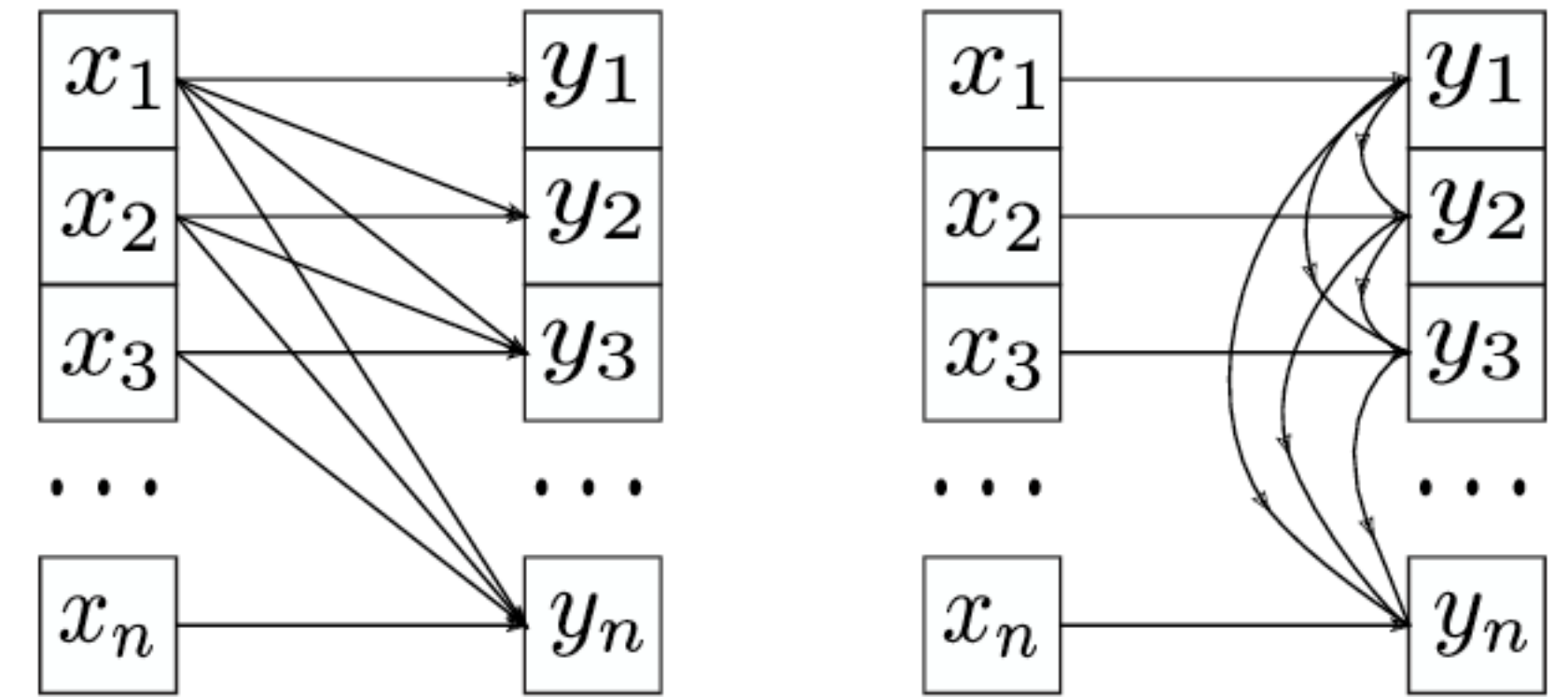
### IAF

$$z_i = (x_i - m_{i,\theta}(z_{1:i-1})) / \exp s_{i,\theta}(z_{1:i-1}) \quad \text{LENTO}$$

Generación

$$\hat{x}_i = z_i \exp s_{i,\theta}(z_{1:i-1}) + m_{i,\theta}(z_{1:i-1}), z_i \sim \mathcal{N}(0,1) \quad \text{RAPIDO}$$

$$\log |\det J| = \sum_i s_{i,\theta}(z_{<i})$$



# Continuous Normalizing Flows

## Superando limitaciones

- La arquitectura de los NFs tiene que ser invertible
- Debemos definir el número de capas

**¿Por qué no pensamos en una transformación continua?**

Introducimos un tiempo artificial  $t$  tal que a  $t = 0$  estemos en la a priori y a tiempo  $t = 1$  lleguemos a la distribución objetivo

*Neural ODE*

$$\frac{\partial x(t)}{\partial t} = f_{\theta}(x(t), t)$$

Ecuación diferencial ordinaria! (ODE)

Ahora tenemos una única red  $f_{\theta}$  que la evaluamos en diferentes puntos en el intervalo de tiempo  $t \in [0, 1]$

# Continuous Normalizing Flows

## Jacobiano

### Discreto

$$\vec{x} = \vec{z}_K = f_K \circ f_{K-1} \circ \dots \circ f_1(\vec{z}_0)$$

Mide cambio de volumen finito global

$$\log p_X(\vec{x}) = \log \left( p_{Z_K}(\vec{z}_K) \right) = \log \left( p_{Z_{K-1}}(\vec{z}_{K-1}) \right) - \log \left| \det \frac{\partial f_K(\vec{z}_{K-1})}{\partial \vec{z}_{K-1}} \right|$$

$$\log p_X(\vec{x}) = \log \left( p_0(\vec{z}_0) \right) - \sum_{i=1}^K \log \left| \det \frac{\partial f_i(\vec{z}_{i-1})}{\partial \vec{z}_{i-1}} \right|$$

### Continuo

$$\frac{\partial x(t)}{\partial t} = f_\theta(x(t), t) \quad (\text{Usando ecuación de continuidad y conservación de probabilidad})$$

Método adjunto para BP

$$\frac{d}{dt} \log p(x(t)) = - \text{Tr} \left( \frac{\partial f_\theta(x(t), t)}{\partial x} \right) \implies \log p(x(T)) = \log p(x(0)) - \int_0^T \text{Tr} \left( \frac{\partial f_\theta(x(t), t)}{\partial x(t)} \right) dt$$

divergencia

Para obtener la transformación necesitamos resolver esta ODE numéricamente

# Continuous Normalizing Flows

## Jacobiano

Muchas transformaciones infinitesimales  $x(t + dt) = x(t) + f(x(t), t)dt$

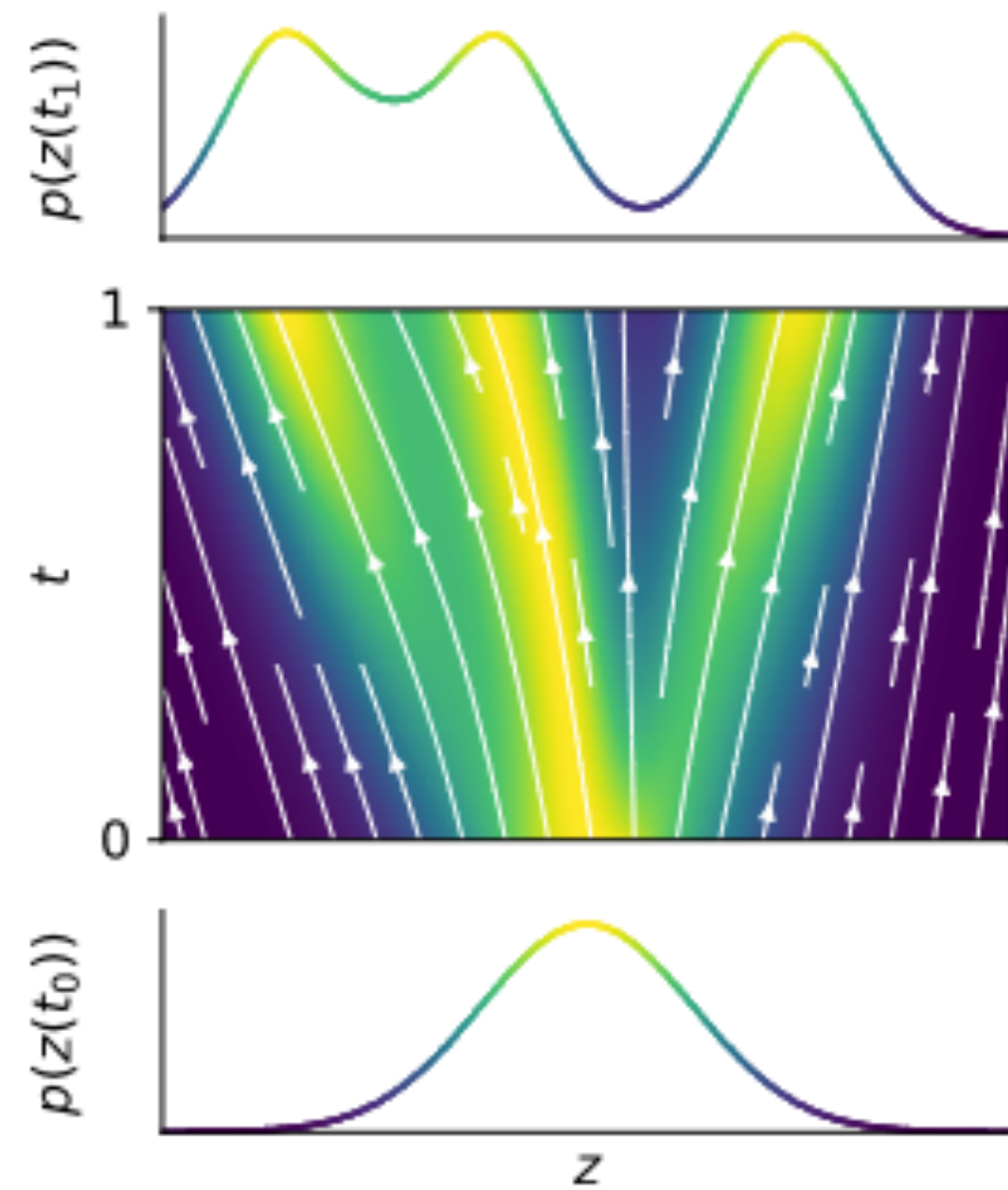
$$J = I + \frac{\partial f}{\partial x} dt$$

Usando que  $\det(I + A dt) \approx 1 + \text{Tr}(A)dt$  (expansion a primer orden)

$$\log \det(J) \approx \text{Tr} \left( \frac{\partial f}{\partial x} \right) dt$$

$$\frac{d}{dt} \log p(x(t)) = - \text{Tr} \left( \frac{\partial f_{\theta}(x(t), t)}{\partial x} \right) \implies \log p(x(T)) = \log p(x(0)) - \int_0^T \text{Tr} \left( \frac{\partial f_{\theta}(x(t), t)}{\partial x(t)} \right) dt$$

# Normalizing Flows

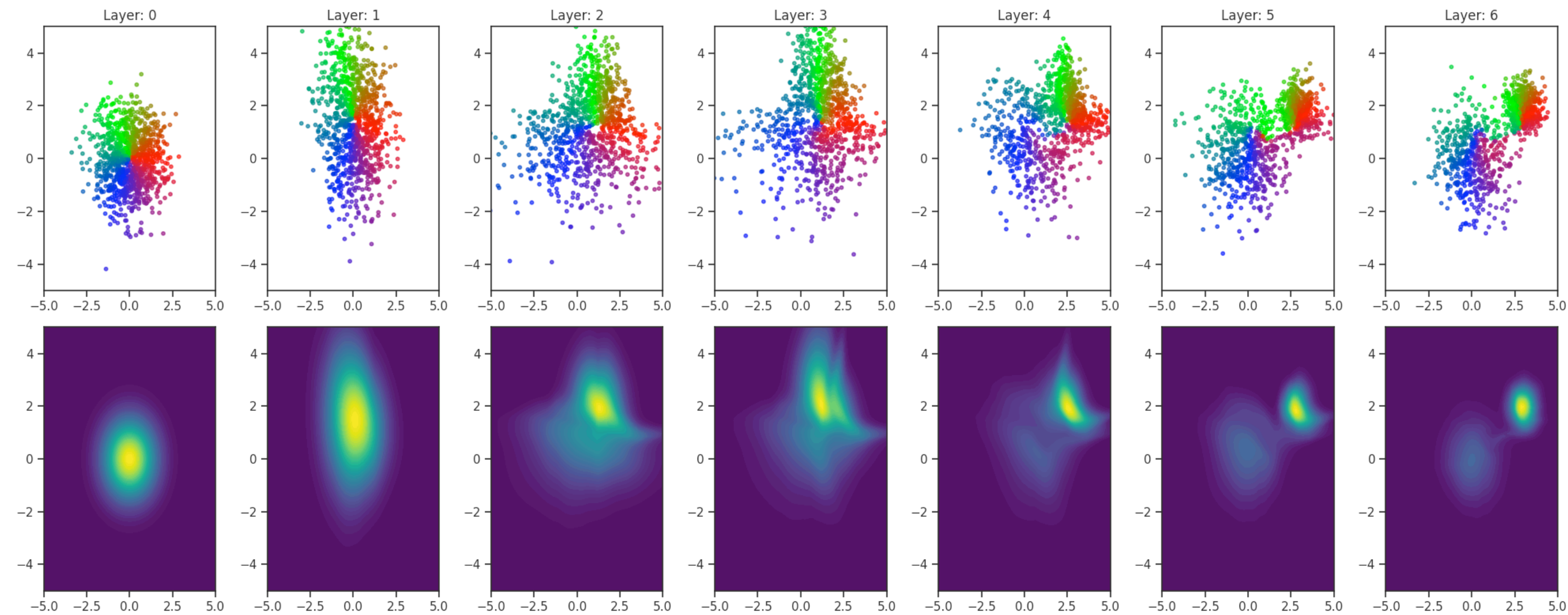


La invertibilidad viene gratis

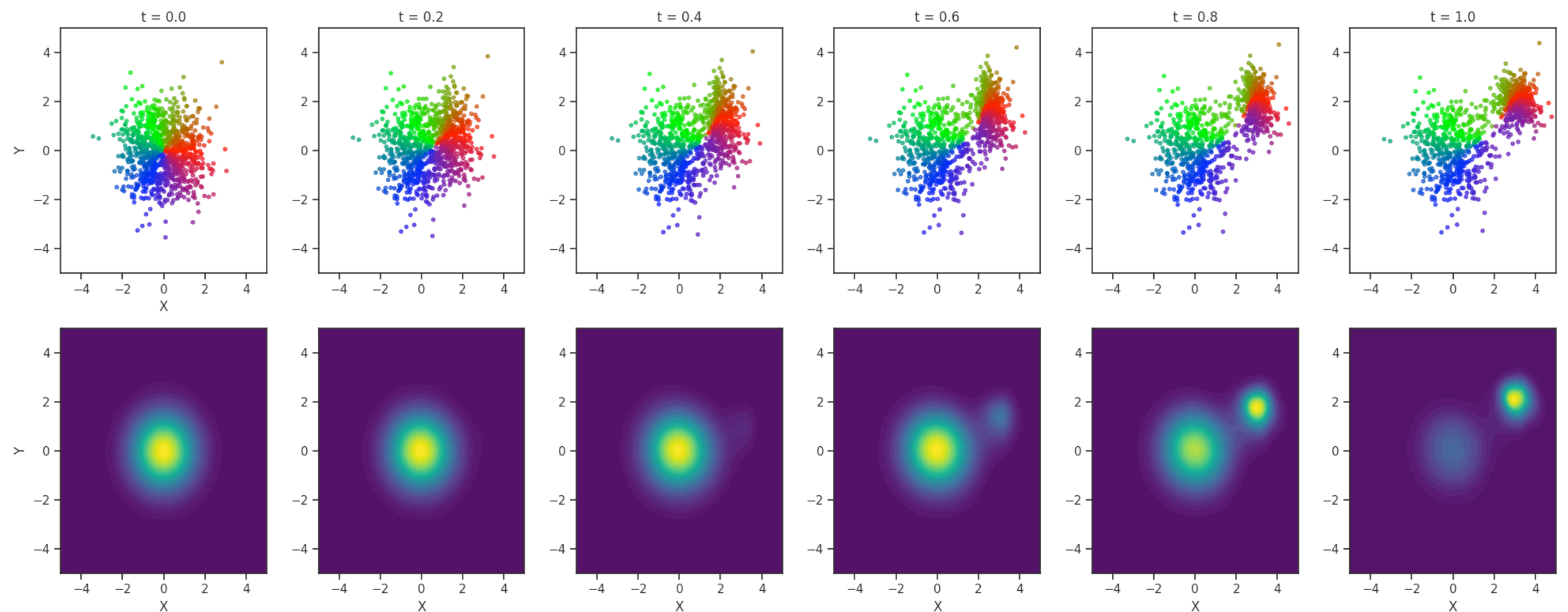
$$x(0) \rightarrow x(T)$$

$$x(T) \rightarrow x(0)$$

## Discreto



## Continuo



# Decuantización

## Distribuciones discretas (imágenes)

- Hemos visto que los NFs operan en distribuciones continuas
- Muchos datos tienen carácter discreto.
- Podemos **convertir** datos discretos en continuos agregándole un poco de ruido

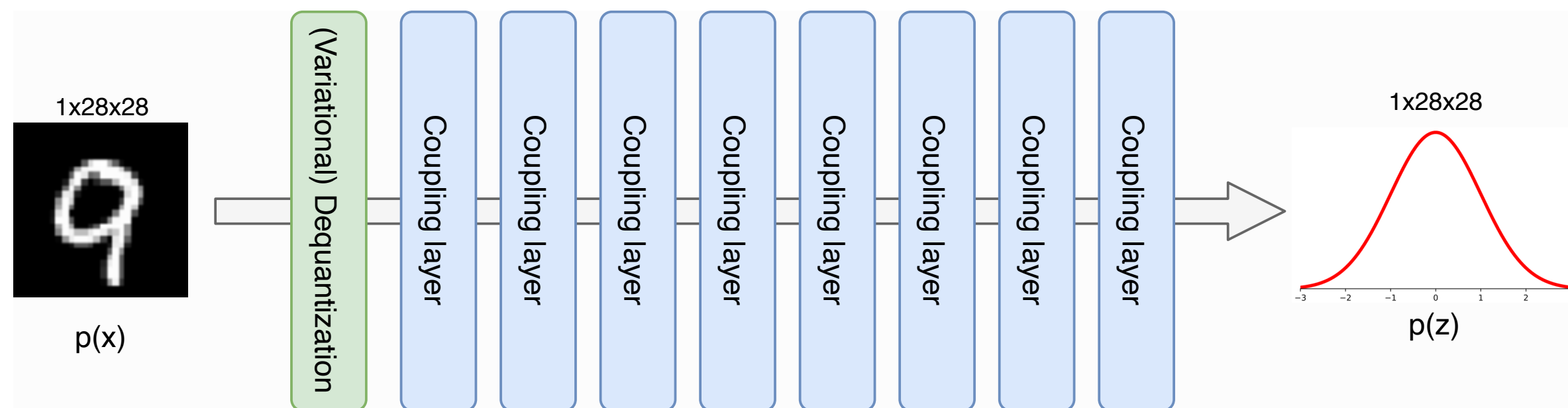
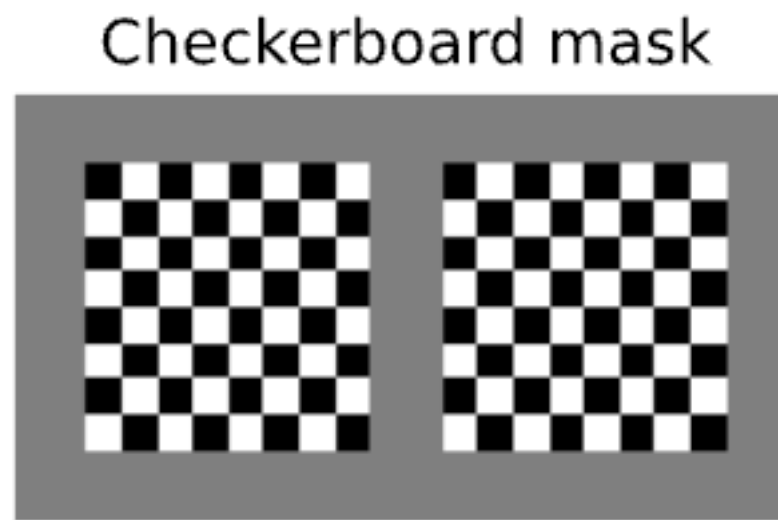
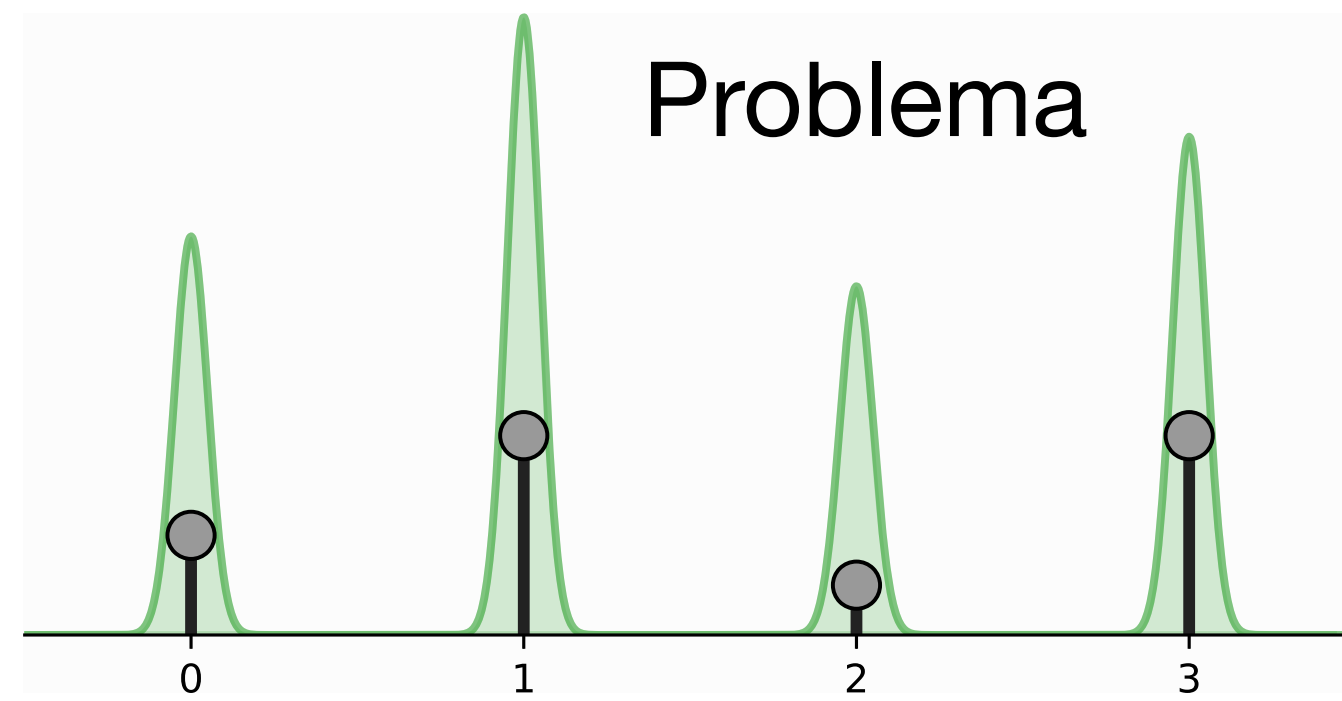
1.  $v = x + u$ ,  $u \sim U[0,1]$ , donde  $x$  son los datos discretos originales

$$p(x) = \int p(x + u)du = \int \frac{q(u | x)}{q(u | x)} p(x + u)du = E_{u \sim q(u|x)} \frac{p(x + u)}{q(u | x)} = E_{u \sim U[0,1]^d} p(x + u)$$

2. Decuantización Variacional: utilizamos una distribución aprendible  $q_\theta(u | x)$ , modelada por un flujo normalizado adicional!

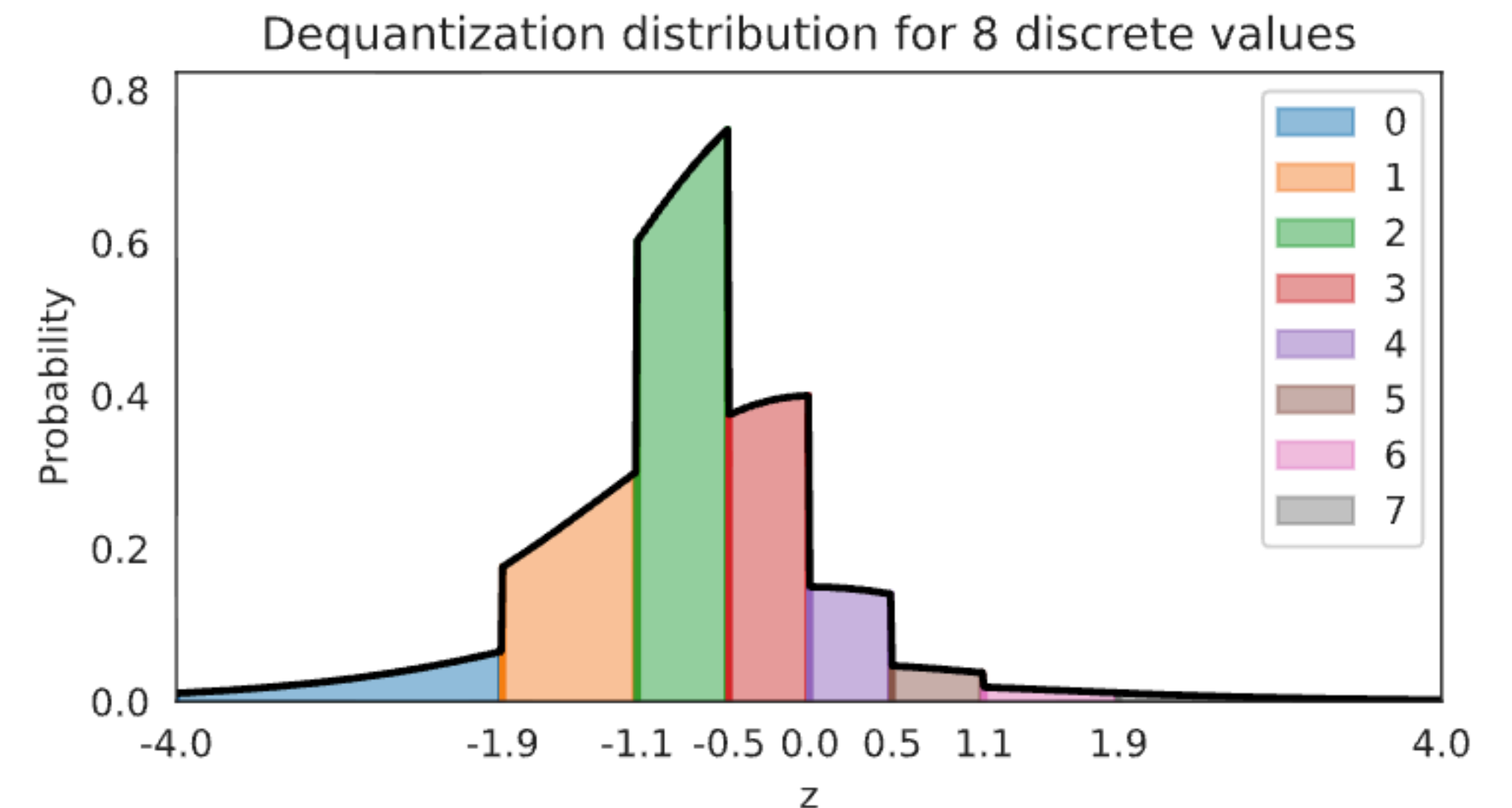
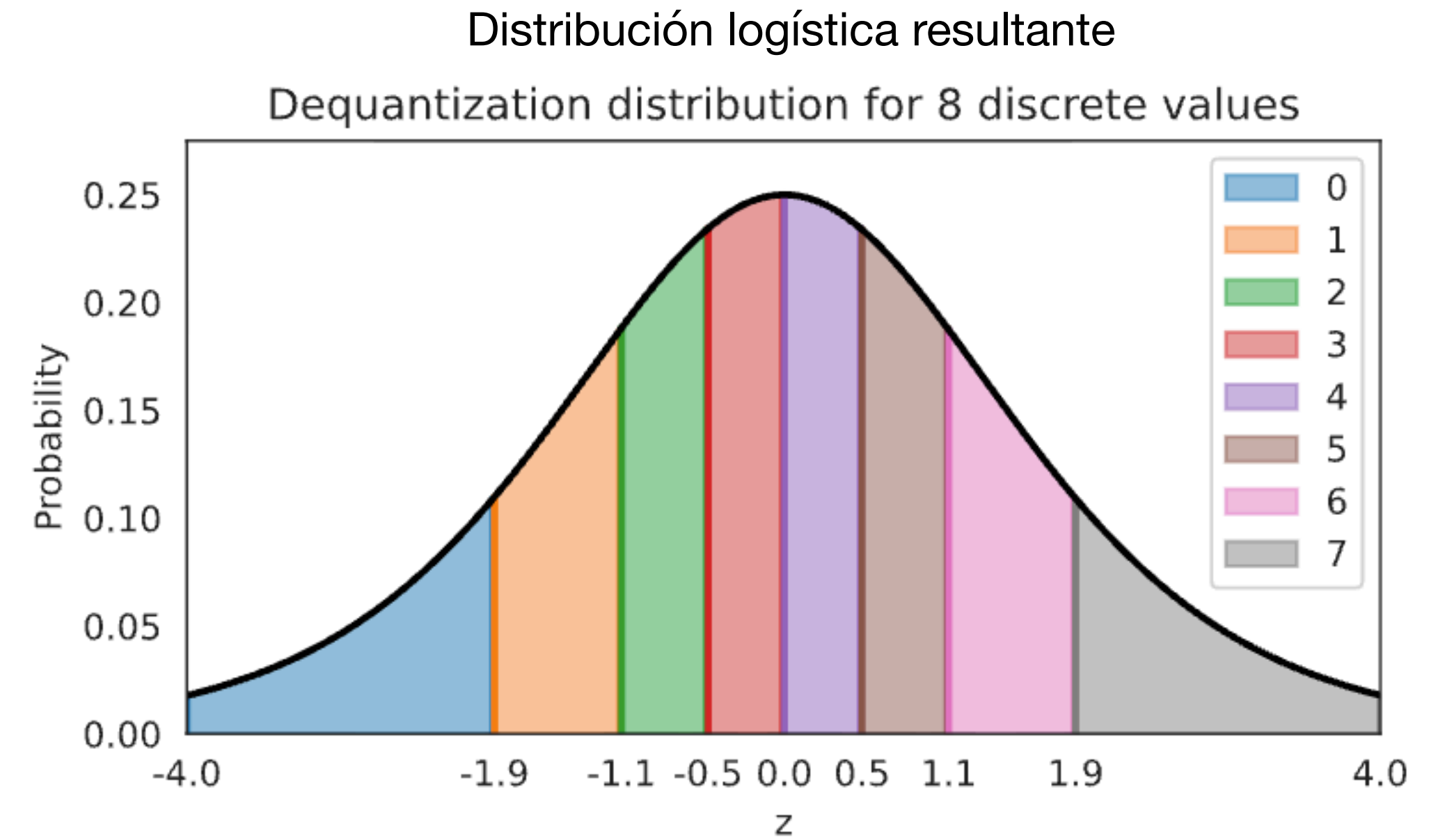
# Decuantización

## Ejemplo



$$z = (x + u)/256, u \sim U[0,1] \implies z \in [0,1]$$

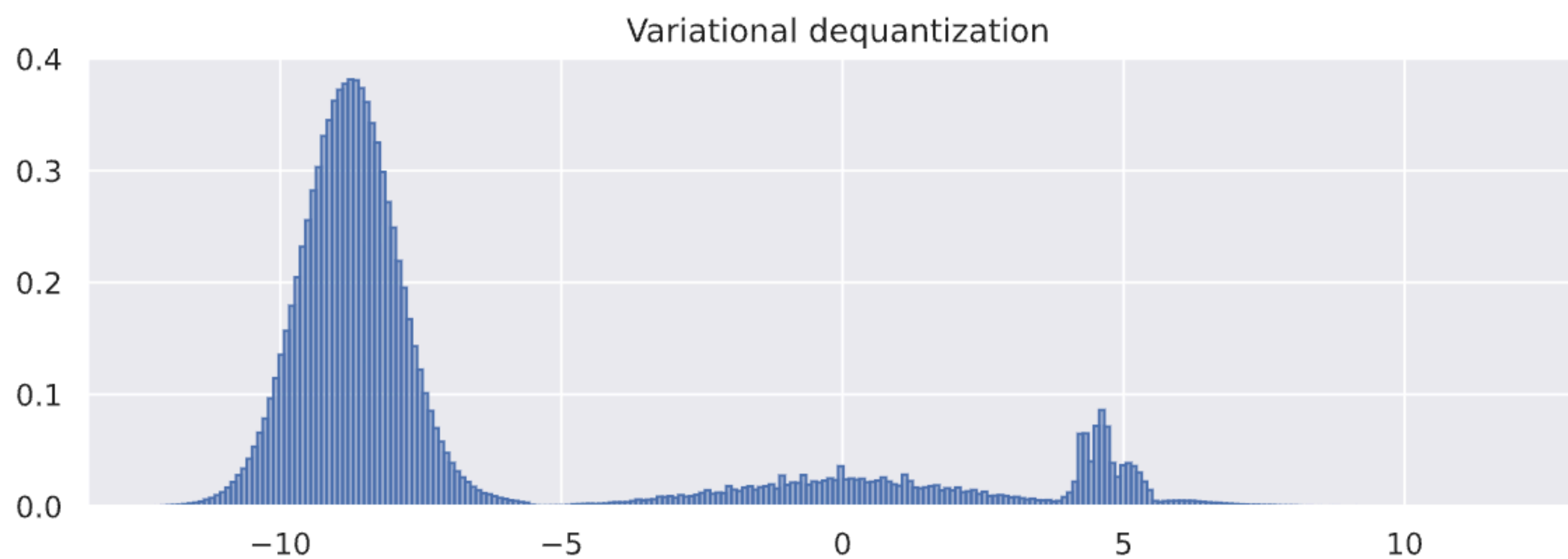
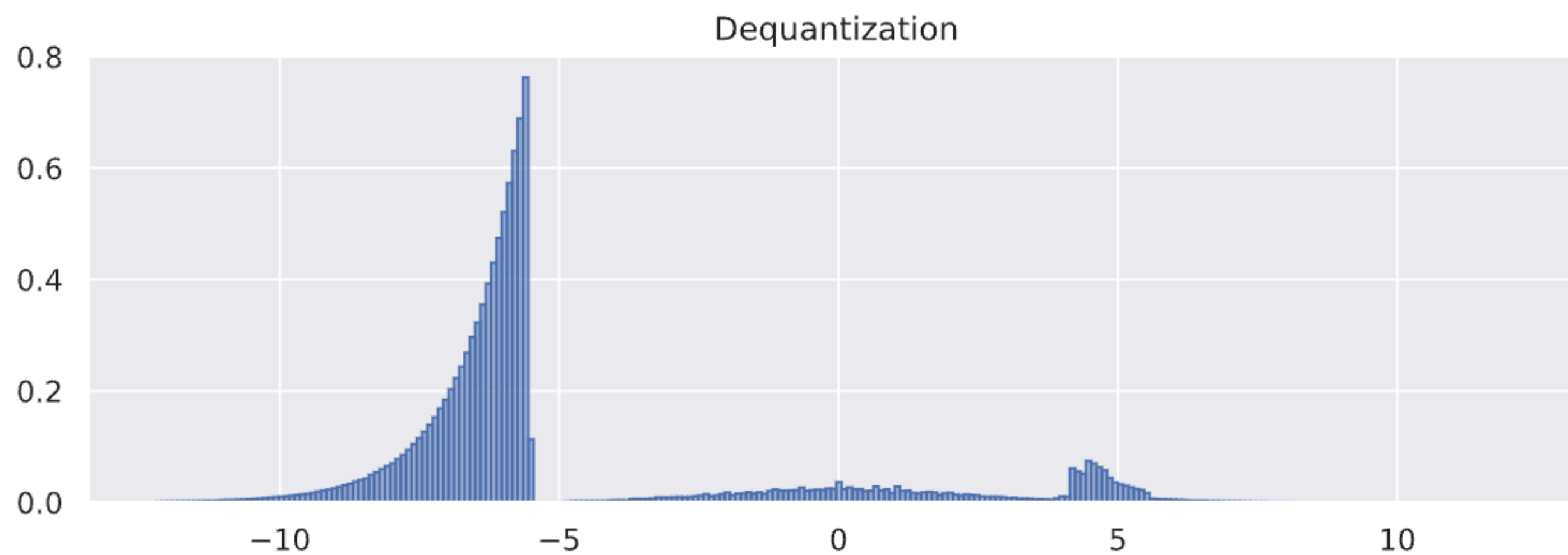
$$\text{logit}(z) = \log(z/(z - 1)) \in \mathbb{R}$$



Qué sucede si no es uniforme

# Decuantización

## Ejemplo



# Modelo de Difusión probabilístico

## Denoising Diffusion Probabilistic Model (DDPM)

Modelo generativo de variable latente en dos fases **forward** y **reverse**.

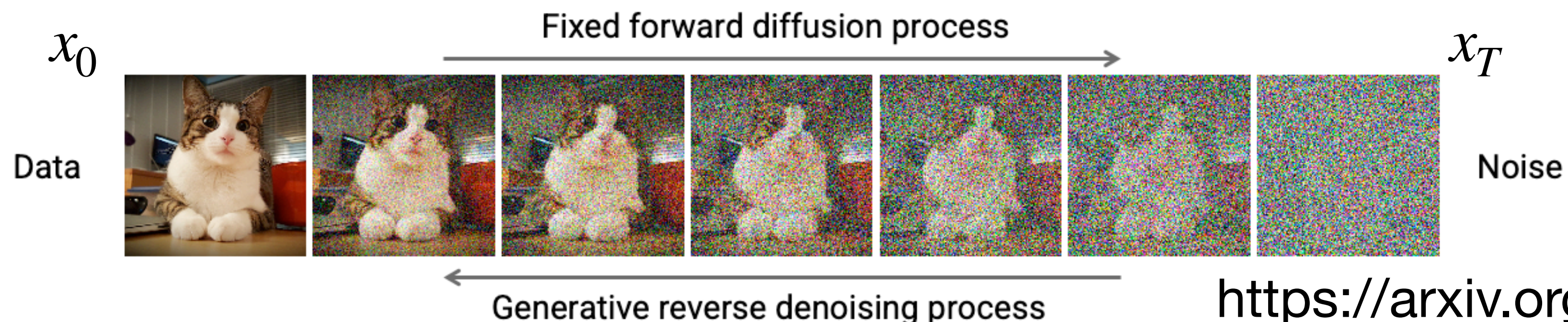
**Forward:** se define una cadena de Markov que va agregándole ruido en pasos pequeños

$$q(x_t | x_{t-1}) = \mathcal{N}(x_t; \sqrt{1 - \beta_t}x_{t-1}, \beta_t I)$$

Con  $\beta_t$  una progresión de ruido pequeño.

- Cada paso hace un poco más borrosa la muestra
- Después de muchos pasos, terminas con puro ruido

$$x_t = \sqrt{1 - \beta_t}x_{t-1} + \sqrt{\beta_t}\epsilon_t, \epsilon_t \sim \mathcal{N}(0, I)$$



# Modelo de Difusión probabilístico

## Denoising Diffusion Probabilistic Model (DDPM)

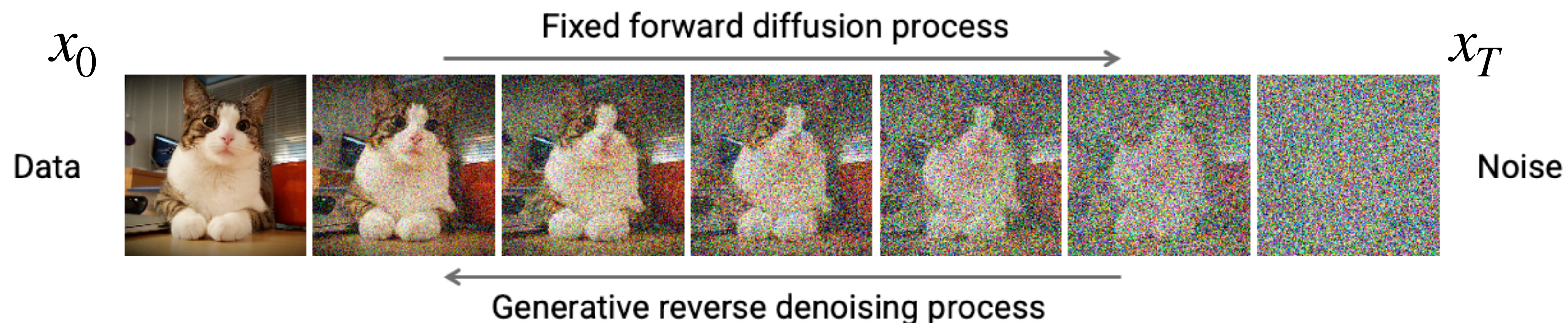
Esta cadena que lleva de  $t = 0$  a  $t = T$  se puede colapsar en un solo paso

$$q(x_T | x_0) = \mathcal{N}(x_T; \sqrt{\bar{\alpha}_T}x_0, (1 - \bar{\alpha}_T)I)$$

$$\text{con } \bar{\alpha}_T = \prod_{t=1}^T (1 - \beta_t).$$

$$x_T = \sqrt{\bar{\alpha}_T}x_0 + \sqrt{1 - \bar{\alpha}_T}\epsilon, \epsilon \sim \mathcal{N}(0, I)$$

**Permite samplear  $x_T$  directamente desde  $x_0$  sin simular toda la cadena**



# Modelo de Difusión probabilístico

## Invertir el proceso

Ahora queremos modelar  $p_{\theta}(x_{t-1} | x_t)$ . El modelo predice **el ruido** que se usó para generar  $x_T$ ! Entrenamos red  $\epsilon_{\theta}(x_t, t)$  tal que

$$\epsilon_{\theta}(x_t, t) \approx \epsilon$$

$$\nabla_x \log p_t(x) = -\frac{1}{\sqrt{1 - \bar{\alpha}_t}} \epsilon$$

Predecir  $\epsilon$  equivale a estimar el gradiente de la densidad

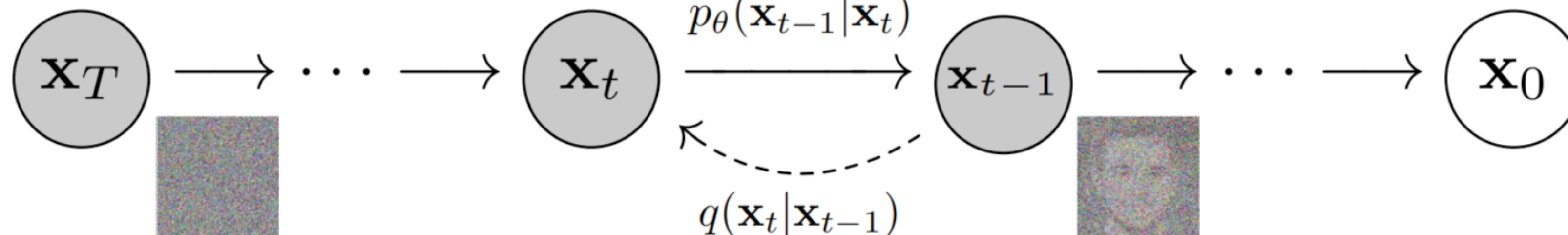
Donde  $\epsilon$  es el ruido real utilizado para obtener  $x_t$ . El entrenamiento se reduce ahora a la función de costo MSE sobre ruido gaussiano

$$\mathbb{E}_{x_0, t, \epsilon} \left[ \|\epsilon - \epsilon_{\theta}(x_t, t)\|^2 \right]$$

$$x_T \sim \mathcal{N}(0, I)$$

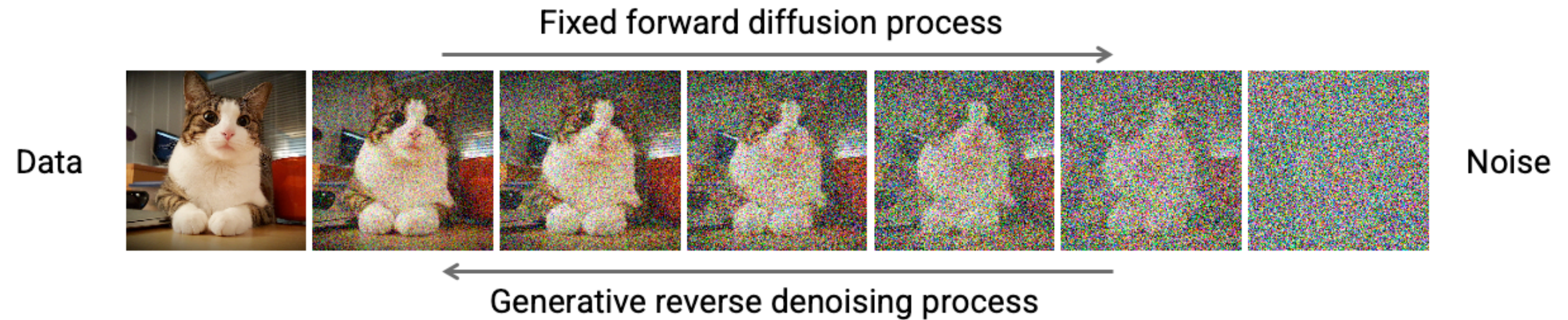
$$x_{t-1} | x_t \sim \mathcal{N}(\mu_{\theta}(x_t), \beta_t I)$$

$$\mu_{\theta}(x_t, t) = \frac{1}{\sqrt{\alpha_t}} \left( x_t - \frac{\beta_t}{\sqrt{1 - \bar{\alpha}_t}} \epsilon_{\theta}(x_t, t) \right)$$



# Modelo de Difusión probabilístico

## Conexión con CNF



En CNFs aprendimos un campo vectorial global  $f_\theta(x, t)$  y su dinámica  $\frac{dx}{dt} = f_\theta(x, t)$

En DDPM aprendemos un campo que apunta hacia regiones de alta densidad. Se le llama score  $s_\theta(x, t) \approx \nabla_x \log p_t(x)$  (score matching). En el límite continuo  $T \rightarrow \infty$ , pasos muy pequeños, tiempo  $t \in [0, 1]$ , veremos que es una formulación análoga a neural ODE, pero con ecuación diferencial estocásticas (SDE).

$$dx = f(x, t)dt + g(t)dW_t$$

$$f_\theta(x, t) = -\frac{1}{2}g(t)^2 s_\theta(x, t)$$

$$g(t) = \sqrt{\beta_t}$$

# Modelo de Difusión probabilístico

## Conexión con CNF

$$x_t = \sqrt{1 - \beta_t} x_{t-1} + \sqrt{\beta_t} \epsilon_t$$

Usamos desarrollo de Taylor  $\sqrt{1 - \beta_t} \approx 1 - \frac{1}{2} \beta_t$

$$\implies x_t \approx x_{t-1} - \frac{1}{2} \beta_t x_{t-1} + \sqrt{\beta_t} \epsilon_t$$

Que, en el límite diferencial  $\Delta t \rightarrow dt$ ,  $\epsilon \rightarrow dW_t$

$$s_\theta(x, t) \approx \nabla_x \log p_t(x)$$

$$dx = -\frac{1}{2} \beta(t) x dt + \sqrt{\beta(t)} dW_t$$

Ecuación Diferencial estocástica (SDE)

Probability Flow ODE (tipo CNF)

Esta SDE es el límite continuo del DDPM

**SDE**

$$dx = f(x, t) dt + g(t) dW_t \implies dx = \left[ f(x, t) - \frac{1}{2} g(t)^2 s_\theta(x, t) \right] dt$$

*El ruido se reemplaza por información de densidad (Focker-Planck)*

Equivalente determinista

# Redes Generativas Adversariales

## Generative Adversarial Networks (GANs)

Ian Goodfellow (2014)

Supongamos que tenemos NN parametrizada por  $\phi$  que recibe  $z$ , muestreado de una distribución conocida, y genera una salida  $\tilde{x}$ . Llamamos a esta red un **generador** (G)

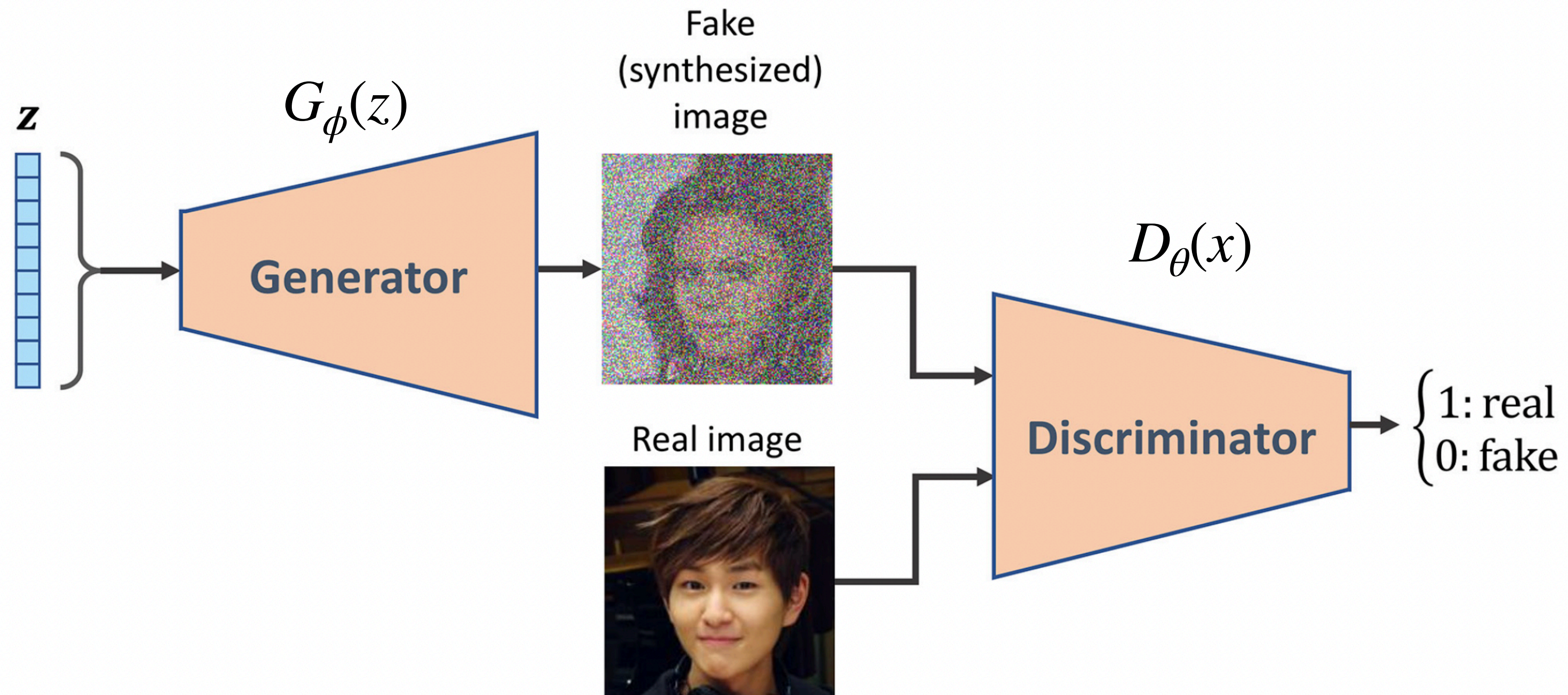
$$\tilde{x} = G_{\phi}(z)$$

Supongamos que existe una función *evaluadora* que es capaz de evaluar la calidad de la salida generada  $\tilde{x}$  en base a datos reales  $x$ . Con esta función, podríamos ajustar los pesos de la red  $G$  de manera tal de aumentar la calidad de  $\tilde{x}$ . Existe una función universal para esto?

Agregamos **otra** NN parametrizada por  $\theta$ , llamada **discriminador** (D), que aprende a distinguir la salida generada  $\tilde{x}$  de los datos reales  $x$ .

# Redes Generativas Adversariales

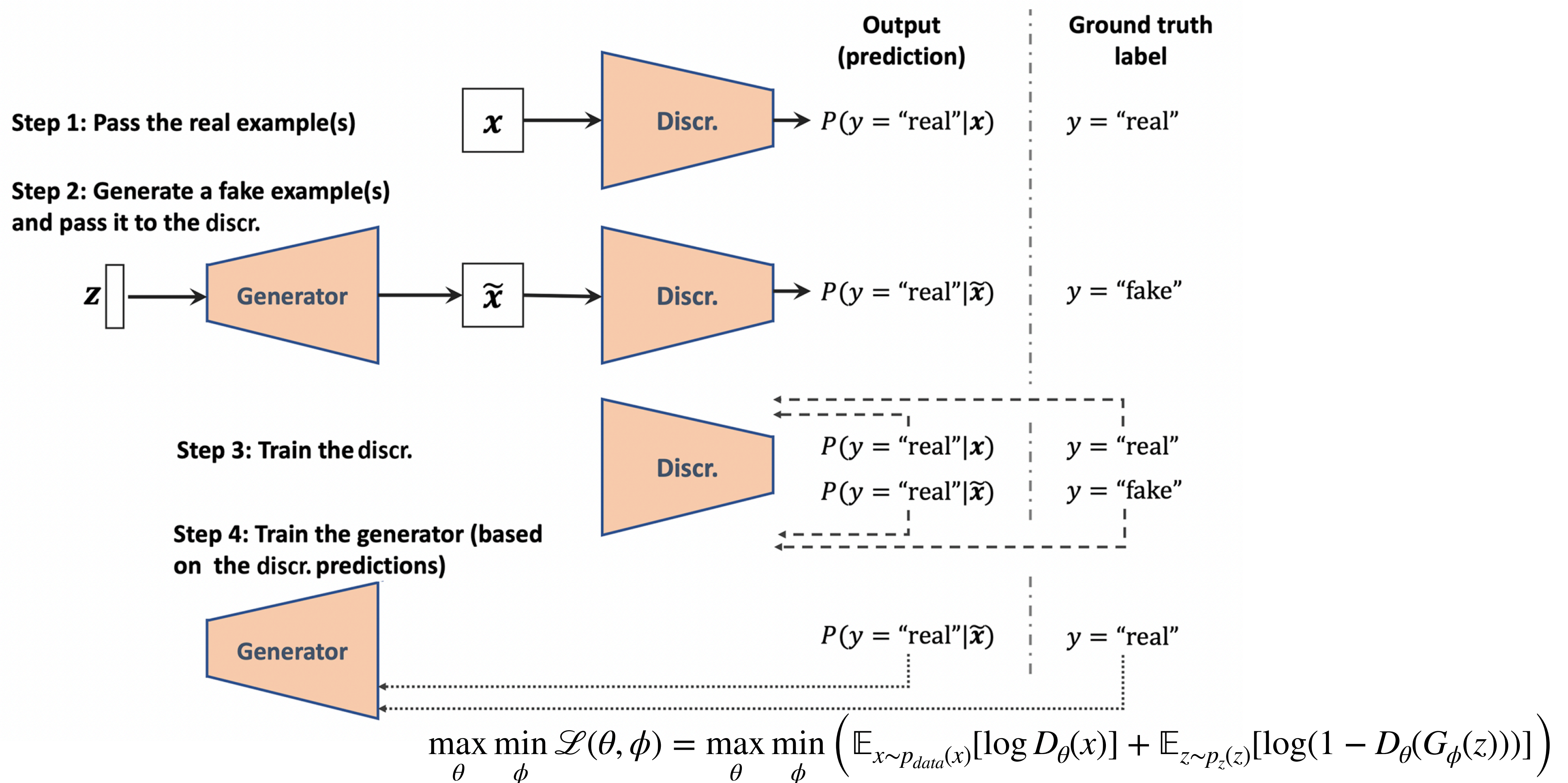
## Generative Adversarial Networks (GANs)



$$\max_{\theta} \min_{\phi} \mathcal{L}(\theta, \phi) = \max_{\theta} \min_{\phi} \left( \mathbb{E}_{x \sim p_{data}(x)} [\log D_{\theta}(x)] + \mathbb{E}_{z \sim p_z(z)} [\log(1 - D_{\theta}(G_{\phi}(z)))] \right)$$

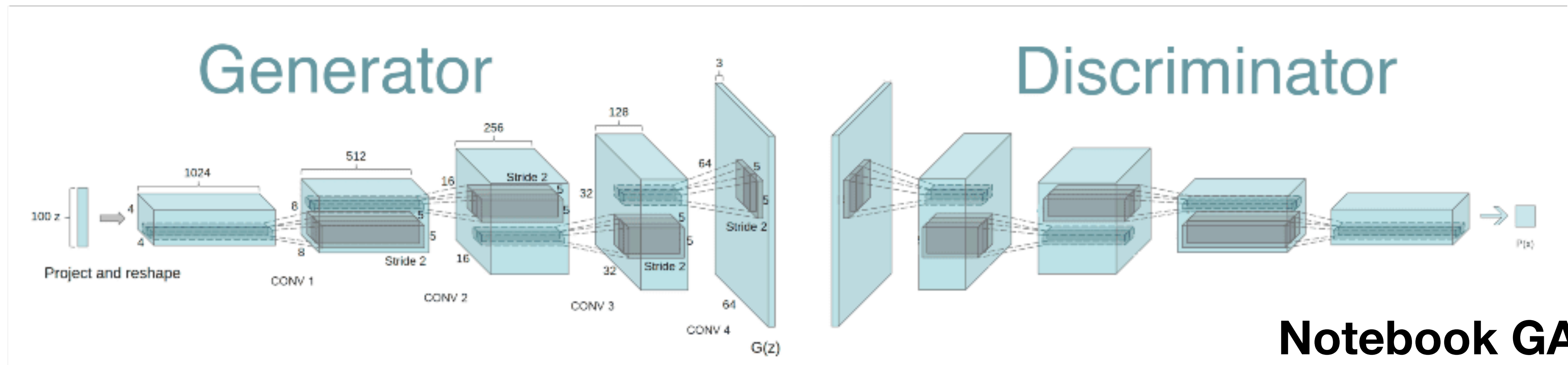
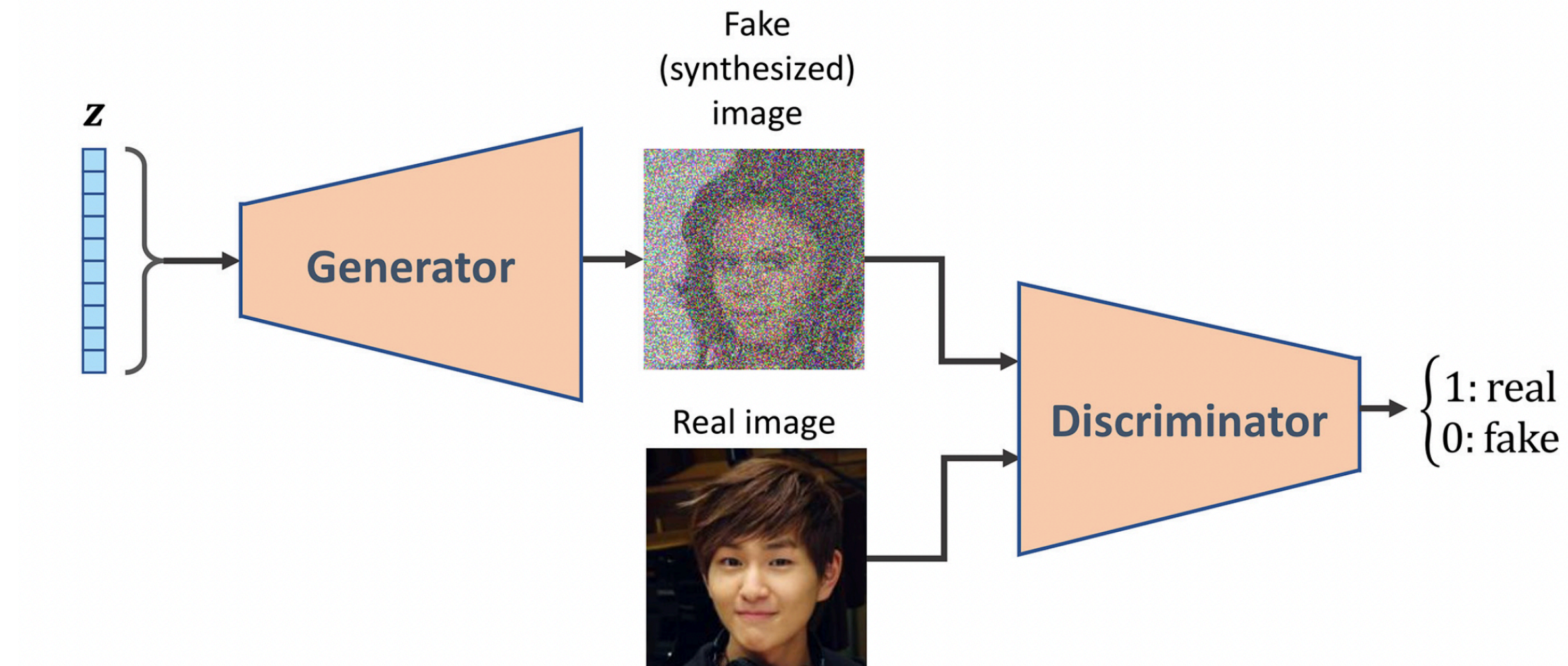
# Redes Generativas Adversariales

## Generative Adversarial Networks (GANs)



# Redes Generativas Adversariales

## Deep Convolutional Generative Adversarial Networks (DC-GANs)



**Notebook GANs**